

TECHNICKÁ UNIVERZITA V LIBERCI

Fakulta strojní
Katedra strojů průmyslové dopravy

**Návrh konstrukčního řešení vnějšího pláště a tepelné
izolace cisternových návěsů**

**Design of outer cover and thermal insulation of the
tanker semi-trailer**

DIPLOMOVÁ PRÁCE
JINDŘICH MARYŠKA

2005 – 2006

TECHNICKÁ UNIVERZITA V LIBERCI

FAKULTA STROJNÍ

Katedra strojů průmyslové dopravy

Obor: 2302T010

Konstrukce strojů a zařízení

Zaměření

KOLOVÉ DOPRAVNÍ A MANIPULAČNÍ STROJE

**Návrh konstručního řešení vnějšího pláště a tepelné izolace
cisternových návěsů**

**Design of outer cover and thermal insulation of the tanker
semi-trailer**

KSD – 432

Maryška Jindřich

Vedoucí diplomové práce: doc. Dr. Ing. Pavel Němeček

Konzultant diplomové práce: Ing. Pavel Sytný – KOBIT s.r.o.

Rozsah práce:

Počet stran	:	50
Počet obrázků	:	29
Počet tabulek	:	11
Počet příloh	:	4
Počet výkresů	:	2

ANOTACE

TÉMA

Návrh konstrukce vnějšího pláště a izolace cisternových návěsů

ANOTACE

Diplomová práce popisuje konstrukci vnějšího pláště a tepelné izolace cisternového návěsu pro převoz bitumenu. První část se zabývá přenosem tepla a tepelnými ztrátami současné technologie vnějšího pláště. Druhá část popisuje návrh nového konstrukčního řešení vnějšího pláště a tepelné izolace, včetně pevnostní analýzy provedených úprav pomocí software PRO/MECHANICA. Závěrčná část obsahuje ekonomické zhodnocení provedených úprav, včetně úspory materiálu a hmotnosti návěsu. Součástí diplomové práce je výkres sestavy a dilatačního vlnovce.

THEME

Design of outer cover and thermal insulation of the tanker semi-trailer

ANNOTATION

The diploma work is engaged in design and description of outer cover and thermal insulation of the bitumen tanker semi-trailer. First part of the diploma work calculates heat transfer and thermal losses of current technology. Second part describes new technology of outer cover and using new thermal insulation including stress analysis using PRO/MECHANICA software. Final part contains financial calculation of performed modifications including material and mass savings. Diploma work contains drawings of assembly and part.

Prohlášení

Prohlašuji, že jsem diplomovou práci vypracoval samostatně s použitím uvedené literatury.

V Liberci dne 26.května 2006

JINDŘICH MARYŠKA

PROHLÁŠENÍ K VYUŽITÍ VÝSLEDKŮ DP

Byl jsem seznámen s tím, že na mou diplomovou práci se plně vztahuje zákon č. 121/2000 o právu autorském, zejména § 60 (školní dílo) a § 35 (o nevýdělečných užití díla k vnitřní potřebě školy).

Beru na vědomí, že TUL má právo na uzavření licenční smlouvy o užití mé práce a prohlašuji, že **s o u h l a s í m** s případným užitím mé práce (prodej, zapůjčení apod.).

Jsem si vědom toho, že užití své diplomové práce či poskytnout licenci k jinému využití mohu jen se souhlasem TUL, která má právo ode mne požadovat přiměřený příspěvek na úhradu nákladů, vynaložených univerzitou na vytvořená díla (až do jejich skutečné výše).

Datum: 26.5.2006

Podpis:

PODĚKOVÁNÍ

Na tomto místě bych rád poděkoval všem pracovníkům katedry strojů průmyslové dopravy, především svému vedoucímu diplomové práce doc. Dr. Ing. Pavlu Němečkovi a konzultantovi Ing. Pavlu Sytnému z firmy KOBIT s.r.o. za odbornou pomoc, připomínky a cenné rady.

V neposlední řadě bych chtěl také poděkovat svým rodičům za velkou morální a finanční podporu během mého studia na vysoké škole.

Úvodní strana

Zadání

Anotace

Annotation

Prohlášení – samostatně

Prohlášení – použití výsledků

Poděkování

Obsah :

1 Úvod	12
1.1 Cíle diplomové práce	12
1.2 Současná konstrukce vnějšího pláště	13
1.3 Tepelná izolace cisternového návěsu	14
1.3.1 Popis a provedení tepelné izolace Rockwool	14
1.3.2 Základní vlastnosti tepelné izolace Rockwool I.....	15
2 Výpočet prostupu tepla a přenosu tepelných mostů	16
2.1 Teorie přenosu tepla a hmoty	16
2.1.1 Vedení tepla – Fourierův zákon	16
2.1.2 Tepelné záření – radiace	18
2.1.3 Přestup tepla – konvekce	19
2.2 Výpočet sdílení tepla podél válcové plochy návěsu	23
2.2.1 Aerodynamika návěsové soupravy	24
2.2.2 Vlastní výpočet	25
2.3 Výpočet sdílení tepla na čelech návěsu	31
2.4 Výpočet přenosu tepelných mostů	34
2.4.1 Výztužné obruče	34
2.4.2 Napichovací hroty	35
2.4.3 Páteřní stojiny a podpěra	36
2.5 Celkový přenos tepla návěsu	37
3 Návrh nové izolační hmoty a konstrukce vnějšího pláště	38
3.1 Současný výrobci cisternových návěsů	38
3.2 Použití nové izolační hmoty	39
3.3 Návrh konstrukčního řešení vnějšího pláště	40
3.3.1 Návrh nových výztužných obručí	40
3.3.2 Technologie obalování vnějším plechem	40
3.4 Výpočet sdílení tepla s izolací ISOVER	42
3.4.1 Sdílení tepla podél válcové plochy a na čelech	42
3.4.2 Výpočet tepelných mostů.....	43
4 Pevnostní kontrola provedených úprav.....	44
4.1 Pevnostní analýza původního řešení.....	44
4.2 Pevnostní analýza nového řešení.....	45
5 Ekonomické zhodnocení.....	47
5.1 Výpočet mezd.....	48
5.2 Náklady na materiál.....	49
6 Závěr.....	49
7 Seznam použité literatury.....	49

Seznam použitých zkratek a symbolů

Symbol	Rozměr	Význam
a	[$m^2 \cdot s^{-1}$]	součinitel teplotní vodivosti
c	[$J \cdot kg^{-1} \cdot K^{-1}$]	měrná tepelná kapacita
d	[m]	průměr
D	[m]	průměr
du	[m]	charakteristický rozměr
f	[s^{-1}]	frekvence
h	[m]	výška
k	[$W \cdot m^{-2} \cdot K^{-1}$]	součinitel prostupu tepla
L	[m]	délka
M	[$W \cdot m^{-2}$]	intenzita vyzařování
Nu	[-]	Nusseltovo číslo
p	[Pa]	absolutní tlak
Pr	[-]	Prandtlovo číslo
q	[$W \cdot m^{-2}$]	hustota tepelného toku
Q	[W]	tepelny tok
R	[m]	poloměr
Re	[-]	Reynoldsovo číslo
S	[m^2]	teplosměnná plocha
t	[s]	čas
t	[mm]	tloušťka izolace
T	[K]	teplota Kelvina
T	[°C]	Celsiova teplota
w	[$m \cdot s^{-1}$]	rychlosť prouďení
W	[J]	energie

Symbol	Rozměr	Význam
α	[W.m ⁻² .K ⁻¹]	součinitel přestupu tepla
δ	[m]	tloušťka stěny
ϵ	[-]	emisivita
η	[Pa.s]	dynamická viskozita
λ	[W.m ⁻¹ .K ⁻¹]	tepelná vodivost
λ	[m]	vlnová délka
Φ	[W]	zářivý tok
ν	[m ² .s ⁻¹]	kinematická viskozita
ρ	[kg.m ⁻³]	měrná hmotnost

Seznam indexů

A	asfaltu
B	barometrický
C	celkový
C1	celkový – válcové plochy
C2	celkový – čela
C3	celkový – tepelné mosty
č	čela
d	obvodu
DT	dvou těles
e	zářivý
e	uvažovaného zářiče
e0	absolutně černého tělesa
H ₂ O	vody
iz	izolace
k	konduktivní a konvektivní
oc	oceli
pov	povrchu
PS	páteřních stojin
v	vzduchu
v	výpočetní
vpč	válcové plochy čela
TM	tepelných mostů
VO	výztužných obručí

Přílohy :

P1 – Technický list : Austenitická korozivzdorná ocel DIN 1.4301

P2 – Ceník a technický list : Tepelná izolace Rockwool

P3 – Ceník a technický list : Tepelná izolace Isover

P4 – Obrázky cisterny v software Proengineer

Výkres sestavy

Výkres distančního vlnovce

1 Úvod

Cisternový návěs CN 33N od firmy KOBIT s.r.o. slouží pro přepravu tekutého asfaltu (někdy také označovaného jako – bitumen) a topných olejů, popřípadě dalších láttek dle normy ADR tř.3 – kód L1,5BN. Samonosná nádrž je válcové svařované konstrukce tlakového zásobníku s jednou komorou a technickými přepážkami. Materiál nádrže je nerezová ocel tloušťky 3 mm. Teplota media je až 250 °C , vytápění pomocí páry. Plnící otvor na horní straně nádrže a vypouštění pomocí tlakování od kompresoru tahače. Celkový geometrický objem je 31 500 dm³.



Obr. 1.1 : cisternový návěs CN 33N od firmy KOBIT s.r.o.

1.1 Cíle diplomové práce

Cílem této diplomové práce je provést výpočet prostupu tepla a přenosu tepelných mostů s ohledem na současnou konstrukci výztužních obručí kolem vnitřního pláště cisterny.

Navrhnout použití nové izolační hmoty s cílem zlepšit přenos tepla mezi vnitřním pláštěm cisterny, izolační hmotou a vnějším pláštěm včetně výpočtu prostupu tepla.

Navrhnut nové řešení konstrukce vnějšího pláště, které by urychlilo, ale také zlevnilo pokrytí nádrže cisterny tepelnou izolací a vnějším obálecím plechem, včetně snížení pohotovostní hmotnosti návěsu.

Pomocí software provést pevnostní kontrolu navržených úprav a páteřních stojin.

Navržené úpravy ekonomicky zhodnotit.

1.2 Současná konstrukce vnějšího pláště

Téma tepelné izolace a konstrukce vnějšího pláště cisternových návěsů pro převoz tekutého asfaltu není v současné době tak rozšířeno. Tomu nasvědčuje i fakt, že se tomuto tématu nevěnuje žádná diplomová práce za posledních deset let jak v České republice, tak na Slovensku. Hlavním zdrojem informací mi proto byly konzultace a podklady od firmy Kubit s.r.o.

Řešení konstrukce vnějšího pláště vychází původně z klasického návěsu pro převoz tekutin, na který je pak implementována technologie izolace.

Kolem dokola jsou v rozmezí jednoho metru navařeny výztužné obruče z nerez ocelového pásu o tloušťce 3 mm a šířce 30 mm. Tyto pásy jsou k nádrži přivařeny přes trojúhelníkové mosty z nerez plechu o tloušťce 3 mm a šířce 40 mm, kterých je kolem dokola po obvodu šestnáct.

Vnější plášť cisterny tvoří nerezový plech 0,6 x 1250 AIS 304 (zrcadlový lesk). Jednotlivé pásy plechu jsou k sobě snýtovány a přitlačují izolaci k nádrži. Ve spodní části nádrže jsou ještě mezi jednotlivými obručemi navařeny posuvné hranoly čtvercového průřezu, které drží spodní vnější plechy.

Po naplnění nádrže horkým asfaltem o teplotě až 230 °C dojde vlivem roztažnosti oceli k prodloužení nádrže o 32 mm, a to způsobuje nerovnoměrné a neestetické kroucení vnějšího plechu.

Čela cisterny obalují 5 mm tlusté desky ze skelného polyesterového laminátu od firmy Klenor Choceň s.r.o., které plynule přechází od válcové plochy do kulového vrchliku.



Obr. 1.2 : detailní pohled na vnější plášť a tepelnou izolaci [1]

1.3 Tepelná izolace cisternového návěsu

1.3.1 Popis a provedení tepelné izolace Rockwool

Tepelná izolace se provádí na ocelový plášť cisterny v tloušťce 80 – 150 mm. Používá se technická izolace od firmy Rockwool – typ Ventizol 35 ALS, který se dodává v tloušťkách 60 -100 mm, a to jako skružovatelná kašírovaná rohož z kamenné vlny (minerální plsti). Pásy kamenné vlny jsou jednostranně nalepeny na nosnou podložku, kterou tvoří hliníková fólie vyztužená skelnou mřížkou. Ta se při montáži napichuje na hroty tzv. „ježky“. Ty tvoří společně s obručemi tepelné mosty „obr. 1.2“.

Čela izolují desky Rockwool – typ Techrock 40 z kamenné vlny pojené organickou pryskyřicí.

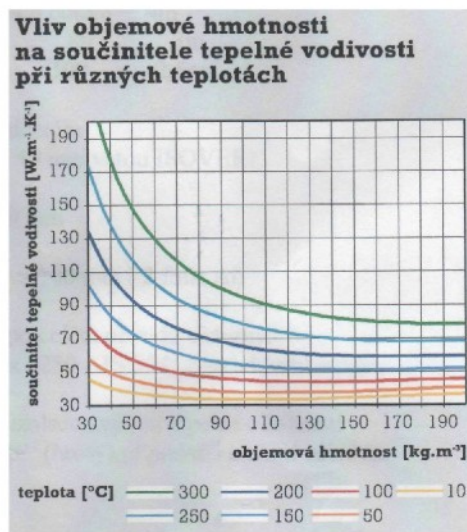
Šířka všech rohoží je 1000 mm. Délka 60 mm tlustého balení je 4 m, 80 mm balení je 3 m a 100 mm balení 2,5 m.

Při síle izolace 80 a 100 mm se dává jedna vrstva rohože. Při síle 150 mm se dává jedna vrstva 60 mm a jedna vrstva 100 mm (2xAl fólie). Maximální provozní teplota 250 °C na straně minerálu.

1.3.2 Základní vlastnosti tepelné izolace Rockwool

Složení : Kamenná vlna vzniká tavením čediče v kupolové peci při teplotě nad 1500°C. Vznikne láva, která se při vytékání na rotující válce změní odstředivou silou na malé kapky, které odlétávají do usazovací komory. Kapky lávy se vlivem velké rychlosti natáhnou a tím vznikne jemné vlákno - základ izolace Rockwool. Vlákna jsou spojena nízkým množstvím organického pojiva a vytvrzena v pecích.

Vodoodpudivost : Materiál obsahuje hydrofobizační olej, který zamezuje pronikání kapalné vlhkosti do izolace. Tyto přísady zamezují i kapilárnímu vzlínání vlhkosti do izolace.



Obr. 1.3 : vlastnosti tepelné izolace Rockwool

Paropropustnost : Izolace z kamenné vlny má velmi nízký difuzní odpor (odpor proti průchodu par). Z tohoto důvodu umožňuje volné odvětrávání vlhkosti. Chemická a biologická netečnost a nízká tepelná roztažnost.

Tepelná vodivost :

Nejdůležitějším parametrem izolačních materiálů z hlediska tepelné ochrany je součinitel tepelné vodivosti λ [$\text{W}\cdot\text{m}^{-1}\cdot\text{K}^{-1}$]. Nízký součinitel tepelné vodivosti kamenné vlny je dle typu izolace zaručen i pro teploty až 800 °C .

2. Výpočet prostupu tepla a přenosu tepelných mostů

2.1 Teorie přenosu tepla a hmoty

Přenos tepla se uskutečňuje třemi základními způsoby : vedením, zářením a konvekcí. Základním předpokladem k tomu, aby kterýkoliv z těchto dějů mohl probíhat je existence teplotního rozdílu. Směr přenosu je vždy orientován z místa s vyšší teplotou k místům s nižší teplotní hladinou.Tok energie , předávané částicemi se nazývá tepelným tokem.

2.1.1 Vedení tepla – Fourierův zákon

Pod pojmem vedení neboli kondukce rozumíme šíření tepla bezprostředním dotykem jednotlivých částic tělesa, případně jednotlivých těles, majících různé teploty. Je způsobeno pohybem mikročástic – pružným kmitáním atomů a molekul.

O "čistém" vedení tepla můžeme mluvit nejlépe u pevných těles. Avšak vedení tepla existuje i v kapalinách a plynech,zejména, můžeme-li je uvažovat makroskopicky v klidu. Jsou-li kapaliny a plyny v pohybu, převládá v nich sdílení tepla konvekcí (přestupem).

Při řešení otázek vedení tepla budeme používat fenomenologického přístupu.Tělesa budeme považovat za kontinuum a velikost sledovaných částí bude vždy mnohonásobně větší než je vzdálenost mezi atomy a molekulami v daném tělese.

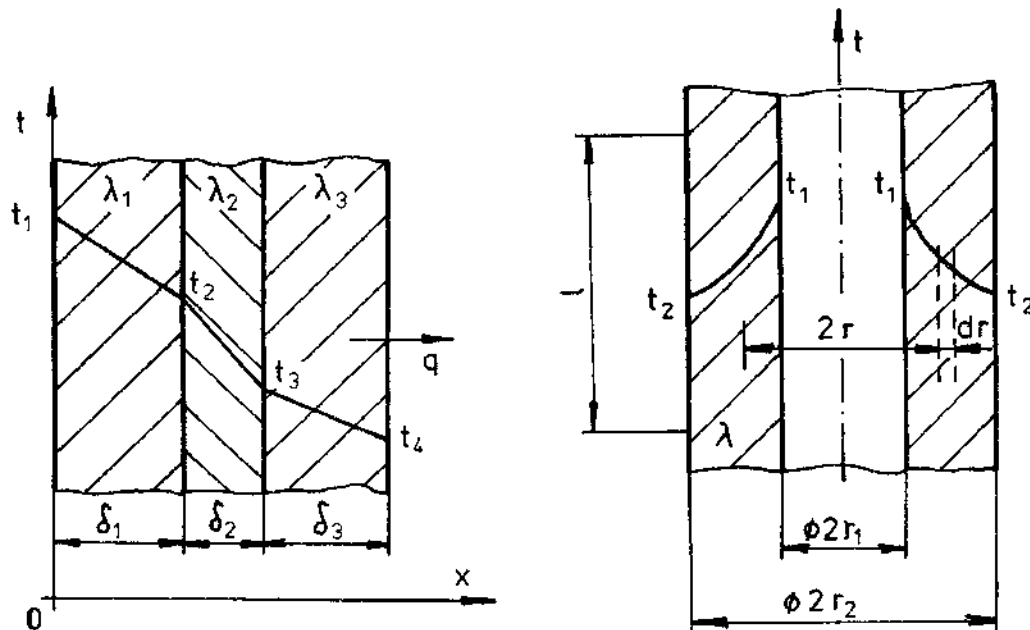
Teplotní pole :

Proces vedení tepla můžeme sledovat s použitím základní stavové veličiny – teploty.Teplova ve sledovaném prostředí může být obecně funkcí místa (souřadnice prostoru x,y,z) a času t.

$$T = f(x,y,z,t) \quad (2.1)$$

Tato rovnice je matematickým vyjádřením teplotního pole. Vidíme,že teplotní pole může být obecně proměnné s časem – NESTACIONÁRNÍ, nebo

nezávislé na čase – STACIONÁRNÍ. Podle závislosti na počtu souřadnic x,y,z, může být teplotní pole jednorozměrné, dvojrozměrné a třírozměrné.



Obr. 2.1 : vedení vícevrstevnatou deskou

Obr. 2.2 : vedení válcem

Obr. 2.1 : Stacionární vedení tepla složenou (vícevrstvou) rovinou stěnou.

Přenos tepla probíhá v desce pouze směru x a má přímkový průběh.

Obr. 2.2 : Stacionární vedení tepla válcovou stěnou bez vnitřních zdrojů tepla. Přenos tepla probíhá ve válci pouze v radiálním směru a má logaritmický průběh.

Teplotní gradient:

Geometrická místa bodů o stejném teplotě se nazývají izotermickými plochami. Největší teplotní spád nastává v normále k izotermické ploše a je charakterizován gradientem teploty :

$$\text{grad } T = \vec{n}_0 * \frac{\partial T}{\partial n} \quad (2.2)$$

kde \vec{n}_0 je jednotkový vektor, kolmý k izotermické ploše, s kladným smyslem ve směru stoupající teploty a $\partial T / \partial n$ je derivace teploty podle normály \vec{n} .

Fourierův zákon :

V určitém okamžiku můžeme stanovit v každém místě teplotního pole tepelný tok Q (x,y,z) [W]. Vztáhneme-li tepelný tok na jednotku plochy v rovině kolmé ke směru toku, obdržíme vektor hustoty tepelného toku q [W.m⁻²]. Vazbu

mezi hustotou tepelného toku a rozložením teploty v homogenním a isotropním prostředím popisuje Fourierova rovnice :

$$\vec{q} = -\lambda * \text{grad } T \quad [\text{W.m}^{-2}] \quad (2.3)$$

kterou čteme: hustota tepelného toku je přímo úměrná a opačného znaménka než teplotní gradient. Skalární součinitel λ [W.m⁻¹.K⁻¹] je důležitou látkovou charakteristikou, kterou nazýváme tepelná vodivost.

Při inženýrských výpočtech je vždy užitečné znát alespoň řádově hodnoty tepelné vodivosti λ nejčastěji užívaných materiálů. Nejnižší vodivost mají plyny, a to řádově 0,01 W/mK. Hodnota tepelné vodivosti plynů s rostoucí teplotou roste, a to přibližně úměrně \sqrt{T} . Tepelná vodivost kapalin je řádově 0,1 W/mK. S rostoucí teplotou λ kapalin mírně klesá s výjimkou vody, kde λ od 0° do 100 °C roste. Při odhadu tepelné vodivosti pevných látok rozlišujeme mezi látkami krystalickými, amorfními a kovy. Hodnoty vodivosti krystalických materiálů jsou nepřímo úměrné teplotě, u amorfních materiálů závisí na teplotě jen málo. Vodivosti nekovových materiálů jsou řádově desetiny až jednotky W/mK. Vodivost kovových materiálů je řádově vyšší, jedná se o 10 – 100 W/mK.

2.1.2 Tepelné záření - radiace

Přenos tepla zářením (sáláním) je způsoben elektromagnetickým vlněním, které se šíří v prostoru rychlostí světla $c = 3 \cdot 10^8 \text{ m.s}^{-1}$. Elektromagnetické záření je charakterizováno svojí vlnovou délkou λ [m] a frekvencí f [s⁻¹], přičemž platí :

$$c = \lambda * f \quad [\text{m.s}^{-1}] \quad (2.4)$$

Tuhé látky, kapaliny a některé plyny emitují, zvláště při vyšších teplotách, energii různých forem. Je to např. Roentgenovo záření používané v lékařství, γ – záření radiaktivních materiálů, ultrafialové záření vzniklé při elektrickém výboji v plynu atd. Viditelné světelné záření má vlnovou délku $\lambda = 0,35$ až $0,75 \mu\text{m}$, infračervené záření – tepelné sálání má $\lambda = 0,8$ až $800 \mu\text{m}$.

Tepelné záření dopadající na povrch tělesa jím může buď projít, být odraženo nebo pohlceno.

Zářivý tok (výkon) :

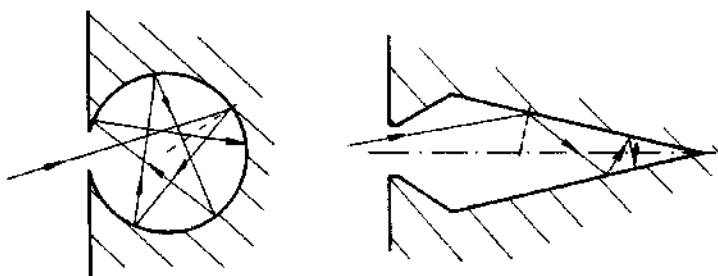
Každé těleso vyzařuje do okolí určité množství energie. Celkové množství zářivé energie vyzářené z povrchu tělesa do polokulového prostoru ve všech vlnových délkách označíme W_e [J] a nazveme zářivou energií.

Výkon přenášený tímto zářením nazýváme zářivým tokem (výkonem) a označujeme jej Φ_e [W].

$$\Phi_e = \frac{dW_e}{dt} \quad [W] \quad (2.5)$$

Absolutně černé těleso :

Odvození základních zákonů o záření je založeno na pojmu dokonale černé tělesa, tj. tělesa, které pohlcuje veškerou dopadající energii. Takovéto ideální těleso neexistuje. Jeho přibližnou realizací může být dutina, například kulového nebo kuželového tvaru, uvnitř matně černá. Část dopadajícího paprsku se pohltí a zbytek odrazí, což se několikrát opakuje, takže odcházející záření ven z dutiny je téměř nulové.



Obr. 2.3 : realizace absolutně černého tělesa

Dalším důležitým pojmem je vyzařování (intenzita vyzařování) M_e [$W \cdot m^{-2}$]. Vyzařování v daném bodě plošného zdroje je podíl zářivého toku, který vychází z elementární plochy dS a plošného obsahu této elementární plochy.

$$M_e = \frac{\phi_e}{dS} \quad [W \cdot m^{-2}] \quad (2.6)$$

Stefan – Boltzmannův zákon :

Stefan a Boltzmann odvodili, že tzv. dokonalý zářič neboli absolutně černé těleso emituje ve směru normály k povrchu hustotu zářivého tepelného toku :

$$M_{e0} = \bar{q} * \bar{n} = \sigma * T^4 \quad [W \cdot m^{-2}] \quad (2.7)$$

kde σ je tzv. Stefan–Boltzmannova konstanta : $\sigma = 5,67 \cdot 10^{-8} \text{ W} \cdot \text{m}^{-2} \cdot \text{K}^{-4}$. Energie emitovaná dokonalým zářičem je úměrná čtvrté mocnině absolutní teploty.

Poměrná zářivost (emisivita) :

Emisivita je podíl vyzařování M_e uvažovaného teplotního zářiče a vyzařování M_{e0} dokonale černého tělesa při stejně teplotě.

$$\epsilon = \frac{M_e}{M_{e0}} \quad [-] \quad (2.8)$$

Emisivita závisí na látkových vlastnostech tělesa, na teplotě jeho povrchu, stavu povrchu a zejména u kovů na stupni oxidace povrchu.

Čisté kovy s leštěným povrchem mají malou emisivitu, například při teplotě 100 °C obvykle nepřevyšují $\epsilon = 0,1$. Tedy jejich emisivita je rovna přibližně desetině emisivity dokonale černého tělesa.

Je-li povrch kovu zoxidován, jeho emisivita je podstatně větší, $\epsilon = 0,5$ i více. Slitiny mají větší ϵ než čisté kovy. Polovodičové materiály při teplotě 100 °C mívají ϵ větší než 0,8.

Zásadní rozdíl mezi mechanismy přenosu tepla zářením a vedením spočívá mimo jiné v tom, že zářivý přenos mezi dvěma povrhy o různých teplotách probíhá nezávisle na prostředí, které prostor mezi povrhy vyplňuje.

2.1.3 Přestup tepla – konvekce

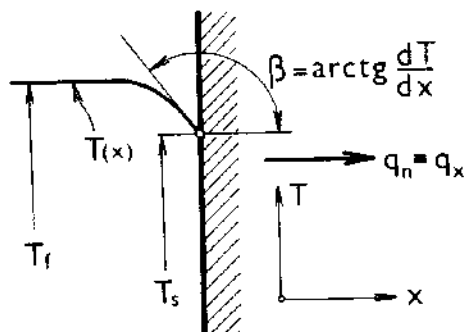
Pojem konvekce je prakticky shodný s pojmem proudění. Konvektivní přenos libovolné fyzikální veličiny se může uskutečnit pouze při makroskopickém pohybu spojitého prostředí tj. při proudění tekutin.

Pro připomenutí : tekutiny se dělí na vzdušiny (plyny a páry) a kapaliny.

Současně s konvekcí probíhá v tekutině kondukce – vedení tepla, daná pohybem mikročástic. Vyskytuje se vždy, stýkají-li se částice o různé teplotě. Konvekční složka v naprosté většině případů převládá nad složkou kondukční, jenž bývá vůči ní velmi malá.

Průběh přestupu tepla :

Jestliže tekutina o teplotě T_f omývá např. rovinou stěnu aparátu o teplotě T_s , bude kvalitativní průběh teploty v blízkosti stěny vypadat tak, jak je naznačeno na „obr 2.4“ .



Obr. 2.4 : kvalitativní průběh přestupu tepla

Pokud bychom znali průběh teplot v tekutině, mohli bychom stanovit hustotu tepelného toku do stěny aparátu z Fourierova zákona tak, že bychom stanovili teplotní gradient v tekutině u stěny a násobili jej tepelnou vodivostí tekutiny. Tento postup vede k výsledkům poskytujícím souhlas se zkušeností a experimentem pouze v případech jednoduché geometrie (rovinná deska, kruhové potrubí)) a víceméně jednoznačně definovaném rychlostním poli, např. v laminárním režimu.

Newtonův ochlazovací zákon :

V komplikované geometrii průmyslových aparátů a většinou turbulentním režimu proudění je výpočet teplotního profilu většinou velmi obtížný nebo i neproveditelný. V těchto případech používáme téměř bez vyjimky empirický vztah, tzv. Newtonův ochlazovací zákon :

$$\bar{q} * \vec{n} = q_n = \alpha * (T_f - T_s) \quad [W.m^{-2}] \quad (2.9)$$

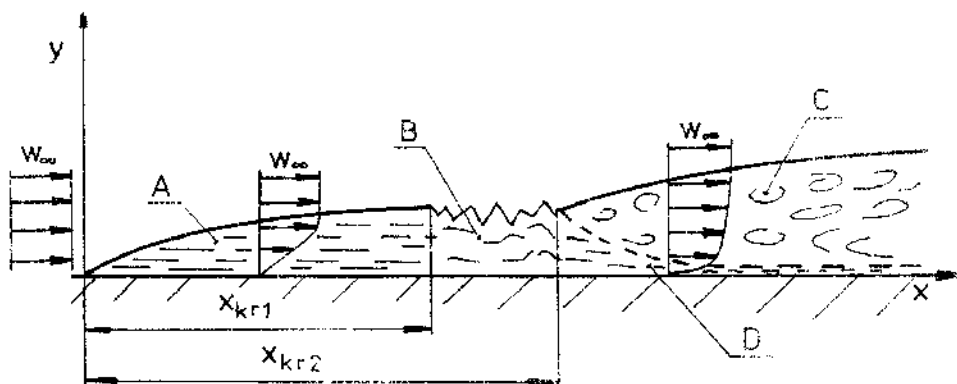
kde parametr α nazýváme v technické praxi součinitel přenosu tepla nebo též přestupu tepla, má jednotku $[W.m^{-2}.K^{-1}]$ a závisí obecně na tak velkém počtu faktorů, že je vhodnější chápát tuto rovnici ne jako zákon, nýbrž jako definici součinitele přestupu tepla α .

Druhy proudění :

Sdílení tepla konvekcí závisí velmi na druhu proudění tekutiny. To může být nucené nebo přirozené (volné). Nucené proudění vzniká působením vnějších sil, bývá vyvozeno čerpadlem, kompresorem apod. Přirozené (volné) proudění vzniká rozdílem hustot různě ohřáté tekutiny (termosifonový efekt).

Z hlediska tvaru proudnic můžeme rozdělit proudění na laminární a turbulentní. Při laminárném proudění se částice tekutiny pohybují navzájem rovnoběžně a nenastává promíchávání uvnitř tekutiny. Při turbulentním proudění je pohyb částic neuspořádaný a dochází k intenzivnímu promíchávání, což způsobuje intenzivnější přenos tepla.

Při obtékání rovinné desky se u povrchu vytvoří laminární mezní vrstva (A), která se v rozmezí vzdálenosti x_{kr1} až x_{kr2} od začátku desky začíná narušovat turbulentemi a přejde v turbulentní mezní vrstvu (C), která má těsně u stěny laminární podvrstvu. Oblast (B) se nazývá přechodovou oblastí „obr. 2.5“.



Obr. 2.5 : obtékání rovinného povrchu (desk)

Čím je větší rychlosť proudění, tím je mezní vrstva tenčí. Přenosu tepla klade laminární mezní vrstva mnohem větší odpor, protože se v ní tekutina nepromíchává jako v turbulentní oblasti. Souvisí to i s tím, že vazká tekutina na stěně lepí. Bezprostředně na stěně je rychlosť vazké tekutiny rovna nule.

Nusseltovo kritérium :

Součinitele přestupu tepla α vypočteme z následující rovnice :

$$Nu = \frac{\alpha * du}{\lambda} \quad [-] \quad (2.10)$$

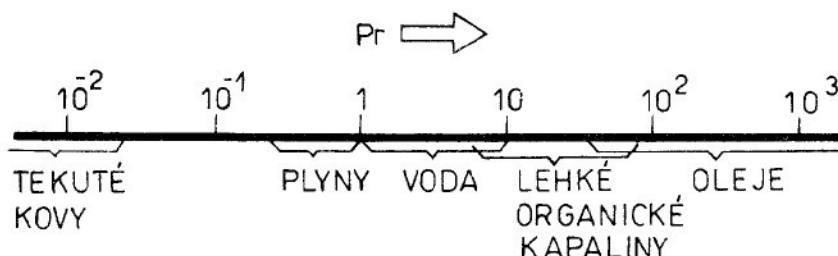
kde Nu je hodnota Nusseltova čísla [-], du je charakteristických rozměr kriteriální rovnice [m], λ je tepelná vodivost proudícího média (vzduchu).

Hodnotu Nusseltova čísla vypočteme z kriteriálních rovnic pro daný typ proudění. U volné konvekce je Nusseltovo číslo funkci Prandtlova a Grashofova čísla. U Nucené konvekce je funkci dvou hlavních parametrů, a to Reynoldsova a Prandtlova čísla.

Nucená konvekce :

Přechod proudění laminárního v turbulentní je charakterizováno velikostí Reynoldsova čísla $Re [-]$. Proudění, mající $Re < 10^4$ je vždy laminární. Plně rozvinuté turbulentní nastává při $Re > 4 \cdot 10^6$. Oblast proudění mezi $Re = 10^4$ a $4 \cdot 10^6$ nazýváme přechodovou oblastí.

Prandtlovo číslo vyjadřuje míru podobnosti mezi rychlostním a teplotním polem a lze je též odvodit jako poměr rychlosti molekulárního přenosu hybnosti (vazký člen) ku rychlosti konduktivního přenosu tepla. Toto kriterium závisí pouze na fyzikálních vlastnostech tekutiny „obr 2.6“.



Obr. 2.6 : přibližný odhad Prandtlova čísla

Závěrem poznamenejme, že základní mechanismy přenosu tepla jsou pouze dva, tj. vedení a záření, pojem konvekce se vždy vztahuje k tekutině.

2.2 Výpočet sdílení tepla podél válcové plochy návěsu

Cisternový návěs má tvar válcové nádoby, která je na návěs přichycena pomocí páteřních stojin a která obsahuje další obslužné a technologické celky nutné pro naplnění, převoz a vytlačení horkého sfaltu z nádoby, včetně pomocného žebříku na boku návěsu „obr. 2.7“.



Obr. 2.7 : cisternový návěs od firmy KOBIT s.r.o.

Výpočet přestupu tepla mezi vnějším plechem a obtékajícím vzduchem je u takto geometricky složitého tělesa téměř nemožný. Proto aplikujeme zjednodušený výpočet prostupu tepla pro vícevrstevnatou válcovou plochu, obtékanou podélně, který simuluje průměrnou rychlosť soupravy 60 km.h^{-1} .

Modelová situace přepravy asfaltu :

V České republice se nejčastěji tankuje tekutý asfalt ve firmě PARAMO s výdejnou v Pardubicích a ten se následně vozí po celé republice, ale i na Slovensko a do Německa. Průměrná dopravní vzdálenost činí 450 km.

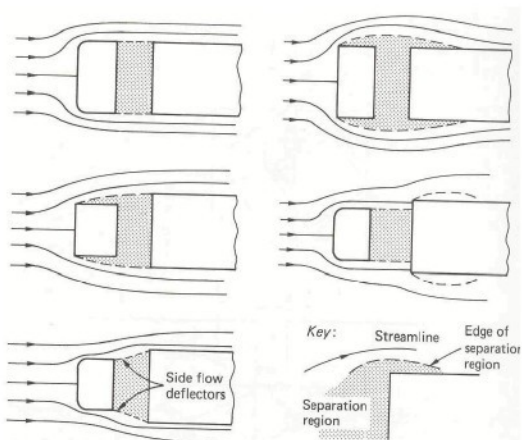
Asfalt se v autocisternách vozí hlavně v době vysprávky komunikací v období od března do listopadu. Právě ke konci listopadu, kdy teploty bežně klesají na hodnotu kolem 5 °C dochází vlivem tepelných ztrát a roztažnosti ocelové konstrukce nádrže k neestetickému kroucení vnějšího pláště.

Běžná teplota plnění silničním asfaltem se pohybuje okolo 170 – 180 °C. Teplota oxidovaného stavebně izolačního asfaltu může dosahovat teploty až 230 °C.

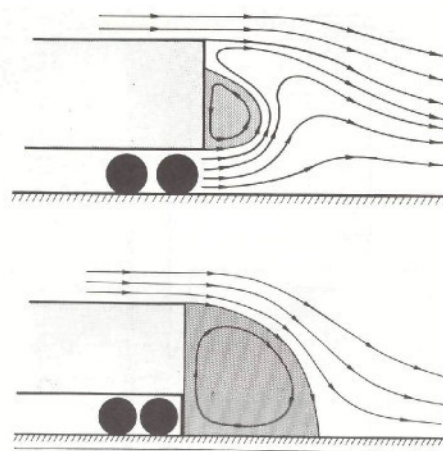
Během přepravy a vyprazdňování nesmí klesnout teplota pod teplotu měknutí asfaltu, která se pohybuje okolo 100 °C .

2.2.1 Aerodynamika návěsové soupravy :

Odporník vzduchu má svůj nezanedbatelný vliv na spotřebu paliva. Snahou dnešních výrobců nákladních vozidel, ale i výrobců návěsů je co nejmenší aerodynamický odporník vzduchu. Obrázek 2.8 a 2.9 ukazují obtékání návěsové soupravy vzduchem.



Obr. 2.8 : obtékání návěsové soupravy



Obr. 2.9 : obtékání zádě

2.2.2 Vlastní výpočet pro tloušťku izolace 100 mm

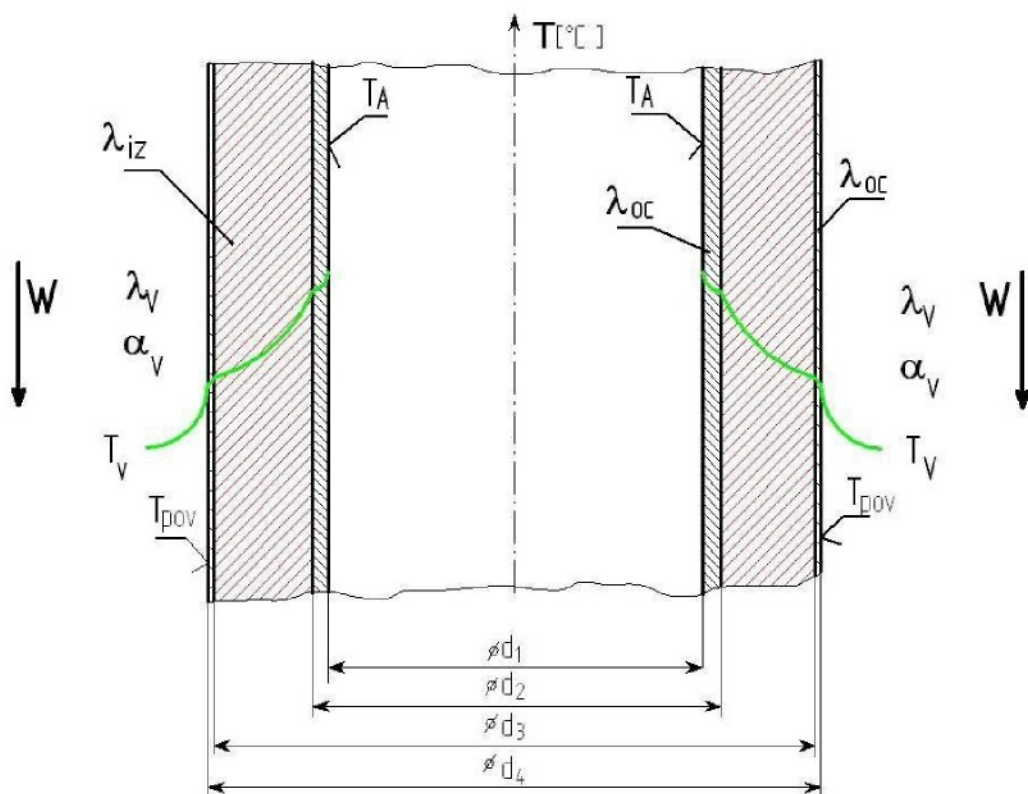
Při výpočtu uvažujeme extrémní podmínky, které mohou v provozu nastat.

Výpočet provedeme pro vodorovné obtékání suchým vzduchem, začne-li pršet, tak se hodnota součinitele přestupu tepla rapidně zvětší.

Stanovit hodnotu součinitele přestupu tepla, když silně prší, je velmi obtížné. Pro přibližnou představu provedeme jěště výpočet přestupu tepla pro svislé a podélné obtékání válcové nádoby vodou.

Odhadovaná rychlosť proudění vody po povrchu cisterny urychlené proudícím vzduchem $w = 16,67 \text{ m.s}^{-1}$ v podélném směru je 3 m.s^{-1} .

Odhadovaná svislá rychlosť stékání po povrchu vnějšího pláště je 1 m.s^{-1} .



Obr. 2.10 : výpočtové schéma vícevrstevnatého válce

Zelená barva značí průběh teplot při prostupu tepla.

Zadané hodnoty :

$\varnothing d_1 = 2000 \text{ mm}$ (vnitřní průměr nádrže)

$\varnothing d_2 = 2006 \text{ mm}$ (nerez plech tloušťky 3 mm)

$\varnothing d_3 = 2206 \text{ mm}$ (vrstva izolace – 100 mm)

$\varnothing d_4 = 2207,2 \text{ mm}$ (vnější tenký nerez plech – zrcadlový lesk)

$T_A = 230^\circ\text{C}$ (teplota asfaltu je rovna teplotě na vnitřní straně nádrže)

$T_v = 5^\circ\text{C}$ ($T_{stř} = 112,5^\circ\text{C}$)

Korozivzdorná chrom – niklová ocel DIN 1.4301 :

Běžná uhlíková ocel (0,5 % C) má λ kolem $50 \text{ W.m}^{-1}.\text{K}^{-1}$, ale s přibývajícími legurami klesá její součinitel tepelné vodivosti. Detailní parametry a vlastnosti této chrom (18%) – niklové (10%) oceli jsou uvedeny v „Příloha P1“.

$$\lambda_{oc} = 15 \text{ W.m}^{-1}.\text{K}^{-1}$$

$$\rho_{oc} = 7900 \text{ kg.m}^{-3}$$

$$c_{p,oc} = 500 \text{ J.kg}^{-1}.\text{K}^{-1}$$

Typ izolace : VENTIZOL 35 ALS – kašírovaná rohož :

Součinitel tepelné vodivosti závisí na střední teplotě, dle DIN 52612.

Vlastnosti a parametry izolace Rockwool jsou uvedeny v „Příloha P2“.

$$\lambda_{iz,stř} = 0,0455 \text{ W.m}^{-1}.\text{K}^{-1}$$

$$\rho_{iz} = 35 \text{ kg.m}^{-3}$$

$$c_{p,iz} = 840 \text{ J.kg}^{-1}.\text{K}^{-1}$$

Celkový tepelný odpor R prostupu tepla je určen jednotlivými složkami odporů přestupem a vedením.

R_1 je tepelný odpor vedením vnitřního ocelovým pláštěm :

$$R_1 = \frac{\ln \frac{d_2}{d_1}}{2 * \pi * \lambda_{oc}} \quad [\text{m.K.W}^{-1}] \quad (2.11)$$

R_2 je tepelný odpor vedením izolací :

$$R_2 = \frac{\ln \frac{d_3}{d_2}}{2 * \pi * \lambda_{iz}} \quad [\text{m.K.W}^{-1}] \quad (2.12)$$

R_3 je tepelný odpor vedením vnějším ocelovým pláštěm :

$$R_3 = \frac{\ln \frac{d_4}{d_3}}{2 * \pi * \lambda_{oc}} \quad [\text{m.K.W}^{-1}] \quad (2.13)$$

R₄ je tepelný odpor přestupem tepla mezi povrchem vnějším pláště a vzduchem :

$$R_4 = \frac{1}{\pi * d_4 * \alpha_v} \quad [\text{m.K.W}^{-1}] \quad (2.14)$$

Výpočet součinitele přestupu tepla α_v (obtékání vzduchem) :

$$Nu = \frac{\alpha_v * du}{\lambda_v} \Rightarrow \alpha_v = \frac{Nu * \lambda_v}{du} = 32,91 \text{ W.m}^{-2}.\text{K}^{-1}$$

Kriteriální rovnice :

Velký poloměr nádrže cisternové návěsu => pro výpočet Nusseltova čísla použijeme vztah pro obtékání rovinné desky o délce L ve směru délky desky,

- jak uvádí [4] :

$$Nu = 0,0405 * Re^{0,8} * Pr = 13 025 \quad (2.15)$$

Výpočet Reynoldsova čísla :

$$Re = \frac{w * du}{\nu_{V5^oC}} = 1,135 * 10^7 \quad (2.16)$$

kde w = 16,67 m.s⁻¹ je rychlosť proudění, $\nu_{V5^oC} = 13,95 * 10^{-6}$ [m².s⁻¹] je kinematická viskozita vzduchu při teplotě 5 °C • jak uvádí [3] a du je charakteristický rozměr : du = 9,5 m (délka návěsu).

$$Pr = \frac{\nu_{V5^oC}}{a} = \frac{\nu_{V5^oC} * c_{p,V5^oC} * \rho_{V5^oC}}{\lambda_{V5^oC}} = 0,73 \quad (2.17)$$

kde a je součinitel teplotní vodivosti vzduchu [m².s⁻¹] , λ_v
 $c_{p,V5^oC} = 0,024 \text{ W.m}^{-1}.\text{K}^{-1}$, $c_{p,V5^oC} = 1006 \text{ J.kg}^{-1}.\text{K}^{-1}$ • jak uvádí [3] a ρ_{V5^oC} je hustota vzduchu, kterou vypočteme ze stavové rovnice plynu.

$$\rho_{V5^oC} = \frac{P_b}{r * T} = 1,25 \text{ kg.m}^{-3} \quad (2.18)$$

kde r = 287 J.kg⁻¹.K⁻¹ je měrná plynová konstanta vzduchu, $P_b = 101,3 \text{ kPa}$
 $T = 278,15 \text{ K}$.

$$R_1 = 3,178 \cdot 10^{-5} \text{ m.K.W}^{-1} \quad R_2 = 0,3324 \text{ m.K.W}^{-1}$$

$$R_3 = 5,77 \cdot 10^{-6} \text{ m.K.W}^{-1} \quad R_4 = 4,382 \cdot 10^{-3} \text{ m.K.W}^{-1}$$

Odpory R₁ a R₃ jsou ve skutečnosti velmi malé, neboť tloušťka plechů je vůči tloušťce izolace malá, proto si je můžeme dovolit zanedbat.

$$R = R_1 + R_2 + R_3 + R_4 = 0,3368 \text{ m.K.W}^{-1} \quad (2.19)$$

Ztrátový tepelný výkon (vedení a přestup) :

$$q_d = \frac{1}{R} * (T_A - T_v) = 668,05 \text{ W.m}^{-1} \quad (2.20)$$

(na 1 m délky návěsu po obvodu)

$$q_k = \frac{q_d}{\pi * d_4} = 96,34 \text{ W.m}^{-2} \quad (2.21)$$

(na 1 m² vnější teplosměnné plochy)

$$Q_k = L * q_d = 6346,45 \text{ W} \quad (2.22)$$

(celkový tepelný tok)

Ztrátový tepelný výkon (radiace) :

Závisí velmi na teplotě povrchu vnějšího pláště.

$$T_{pov} = T_3 = T_A - q_d * (R_1 + R_2 + R_3) = 8 \text{ }^{\circ}\text{C} \quad (281,15 \text{ K}) \quad (2.23)$$

$$M_{e0\ 8^{\circ}\text{C}} = \sigma * T^4 = 354,27 \text{ W.m}^{-2} \quad (2.24)$$

(absolutně černého tělesa)

Hodnota M_{e0} je ideální, v praxi je cisternový návěs atď, už jede nebo stojí, obklopen ze všech stran a ze spodu tělesy, které na něj také vyzařují energii. Nezáleží, jak jsou okolní předměty daleko, neboť záření se děje rychlostí světla. Platí zde vztah pro dvě tělesa s rovnoběžnými stěnami a různými teplotami T_X a T_Y , jejichž povrhy lze z hlediska emisivity považovat za absolutně černý.

$$M_{e0\ DT} = \sigma * (T_X^4 - T_Y^4) \quad [\text{W.m}^{-2}] \quad (2.25)$$

V dalším extrémním případě, budeme-li uvažovat teplotu všech okolních těles (domy, silnice, kabina tahače, podvozek návěsu aj.) 5 °C a budou-li jejich povrhy rovnoběžné z povrhy vnějšího pláště cisternového návěsu, což je dosti nereálné bude hodnota zářivého tepelného toku :

$$M_{e0\ DT} = 5,67 * 10^{-8} * (281,15^4 - 278,15^4) = 14,88 \text{ W.m}^{-2}$$

Pro náš praktický výpočet volíme poloviční hodnotu mezi oběma extrémy a označíme jako $M_{e0\ PR}$.

$$M_{e0\ PR} = \frac{M_{e0\ 8^{\circ}\text{C}} + M_{e0\ DT}}{2} = 184,58 \text{ W.m}^{-2} \quad (2.26)$$

- Jak uvádí [3] ; Emisivita – ocel nerez leštěná při teplotě 40 °C se pohybuje v rozmezí 0,07 – 0,12.

$$\varepsilon_{oc} = 0,05 \quad (\text{Pro } 8^\circ\text{C volím } 0,05)$$

$$q_e = 0,05 * M_{e0\text{PR}} = 9,23 \text{ W.m}^{-2} \quad (2.27)$$

$$Q_e = q_e * \pi * d_4 * L = 608,02 \text{ W} \quad (2.28)$$

Celkový ztrátový tepelný výkon válcové plochy (obtékání vzduchem) :

$$Q_{C1} = Q_k + Q_e = 6954,47 \text{ W} \quad (2.29)$$

Volná konvekce :

V případě, že cisternový návěs zastaví na místě, v prostoru kolem něj převládá bezvětrí, pak se přestup tepla mezi vnějším povrchem a okolím změní na volnou konvekci. Hodnota pohybuje kolem $\alpha_v = 5 \text{ W.m}^{-2}.K^{-1}$, teplota povrchu by vzrostla na 23°C ($296,15 \text{ K}$) a odpor R_4 vzrostl na $0,0289 \text{ m.K.W}^{-1}$.

Dojde k navýšení zářivého tepelného toku, ale ke snížení Q_k .

Výpočet dle rovnic 2.20, 2.22, 2.27, 2.28 .

$$q_d = \frac{1}{R} * (T_A - T_v) = 622,78 \text{ W.m}^{-1}$$

$$Q_k = L * q_d = 5916,46 \text{ W}$$

$$q_e = 0,05 * M_{e0\text{PR}} = 13,30 \text{ W.m}^{-2}$$

$$Q_e = q_e * \pi * d_4 * L = 876,13 \text{ W}$$

Výpočet součinitele přestupu tepla α_{H2O} (obtékání vodou – „déšť“) :

Výpočet součinitele přestupu tepla při podélném obtékání nádržě „vodou“ při odhadované rychlosti proudění $w = 3 \text{ m.s}^{-1}$ (svislé stékání dešťové vody po povrchu nádrže urychlené podélným proudícím vzduchem $w=16,67 \text{ m.s}^{-1}$).

Tento odhad je velmi hrubý, ale po dosazení do kriteriálních rovnic pro obtékání rovinné desky dostaneme α_{H2O} .

Hodnoty vody při teplotě 5°C :

$$\lambda_{H2O\ 5^\circ\text{C}} = 0,587 \text{ W.m}^{-1}.K^{-1},$$

$$\nu_{H2O5^\circ\text{C}} = 1,52 \cdot 10^{-6} \text{ m}^2.\text{s}^{-1}$$

$$\rho_{H2O} = 999,8 \text{ kg.m}^{-3},$$

$$c_p_{H2O} = 1006 \text{ J.kg}^{-1}.K^{-1}$$

$$Pr = 11,05 \quad (\text{rozdílný pro vodu a vzduch})$$

Teplota povrchu klesne na $5,01^\circ\text{C}$ a vzroste hustota tepelného toku.

Typ proudění	w [m*s^-1]	du [m]	α [W/m^2*K]	T _{pov} [°C]	q _k [W/m^2]	Q _k [W]	q _e [W/m^2]	Q _e [W]	Q _{c1} [W]
Vzduch – nucená konvekce	16,67	9,5	32,91	8	96,34	6346,5	9,23	608,02	6954,52
Vzduch – volná konvekce	0	9,5	5	23	89,80	5916,5	13,30	876,13	6791,83
Voda – nucená konvekce	3	9,5	17923	5,01	97,61	6437,2	8,49	559,07	6996,27
Voda – nucená konvekce	1	3,5	9088	5,01	97,72	6437,3	8,49	559,07	6996,37

Tab 2.1 : izolace 100 mm ROCKWOOL – porovnání „déšť“ a suchý vzduch

Obtíkání vodou nám téměř neovlivňuje tepelné ztráty, slouží pouze pro ilustraci silného deště.

Rozhodující je tloušťka izolace, proto další výpočty s obtékáním vodou nepočítají.

t [mm]	Typ proudění	α [W/m^2.K]	T _p [°C]	q _k [W/m^2]	Q _k [W]	q _e [W/m^2]	Q _e [W]	Q _{c1} [W]
80	Volná konvekce	5	27,19	110,96	7177,32	14,58	943,19	8120,5
	Nucená konvekce	32,91	8,59	121,14	7835,41	9,38	606,7	8442,11
100	Volná konvekce	5	23,05	89,80	5916,46	13,30	876,13	6791,83
	Nucená konvekce	32,91	8,00	96,34	6346,45	9,23	608,02	6954,52
150	Volná konvekce	5	17,05	60,26	4149,44	11,62	800,22	4949,66
	Nucená konvekce	32,91	6,92	63,13	4346,82	8,75	565,95	4912,77

Tab 2.2 : izolace ROCKWOOL – porovnání tepelných ztrát pro vzduch

2.3 Sdílení tepla na čelech návěsu

Vnější plášť čela tvoří jedna deska z polyesterového skelného laminátu, která má tvar kulového vrchlíku a přes radius přechází plynule do válcové plochy. Cisternová nádrž má dvě stejně velká čela.

Teplosměnná plocha $S_{č k}$ se rozdělí na tři části $S_{vpč}$, S_{mz} a S_{vrch} :

$$D_{vpč} = 2,006 \text{ m}, L_{vpč} = 0,05 \text{ m}, h_{vrch} = 0,212 \text{ m}, R_{vrch} = 2,044 \text{ m}$$

$$D_{mzh} = 2,172 \text{ m}, D_{mzd} = 1,812 \text{ m}$$

$$S_{vpč} = \pi * D_{vpč} * L_{vpč} = 0,315 \text{ m}^2 \quad (\text{kousek válcové plochy}) \quad (2.30)$$

$$S_{mz} = \frac{\pi}{4} * (D_{mzh}^2 - D_{mzd}^2) = 1,127 \text{ m}^2 \quad (2.31)$$

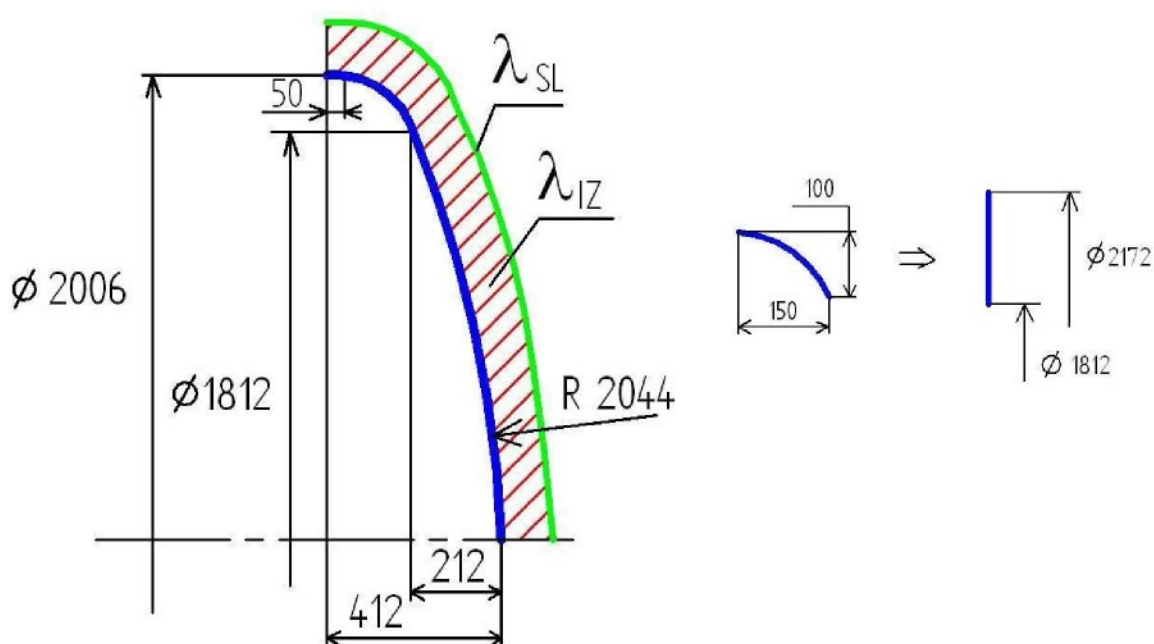
(zaoblení rozvinuté do mezikruží)

$$S_{vrch} = 2 * \pi * R_{vrch} * h_{vrch} = 2,723 \text{ m}^2 \quad (2.32)$$

(obsah kulového vrchlíku)

$$S_{č k} = S_{vpč} + S_{mz} + S_{vrch} = 4,165 \text{ m}^2 \quad (2.33)$$

(výpočtová teplosměnná plocha pro vedení a konvekcí vztažená na vnější povrch ocelové nádrže čela)



Obr. 2.11 : schéma tepelné izolace čela návěsu

Zadané hodnoty :

Parametry nerez oceli a vzduchu jsme uvedli v paragrafu 2.2.2.

Typ izolace : ROCKTECH 40 – tepelně izolační deska :

Součinitel tepelné vodivosti závisí na střední teplotě, dle DIN 52612.

Vlastnosti a parametry izolace Rockwool jsou uvedeny v „Příloha P3“.

$$\lambda_{iz\ stř} = 0,047 \text{ W.m}^{-1}\text{.K}^{-1}, \rho_{iz} = 40 \text{ kg.m}^{-3}, c_{p\ iz} = 840 \text{ J.kg}^{-1}\text{.K}^{-1}$$

Polyesterový skelný laminát :

Monololytická deska tloušťky 5 mm, hladký povrch.

$$\lambda_{SL} = 0,21 \text{ W.m}^{-1}\text{.K}^{-1}$$

$$\rho_{SL} = 1600 \text{ kg.m}^{-3}$$

$$c_{p\ SL} = 1050 \text{ J.kg}^{-1}\text{.K}^{-1} \bullet \text{jak uvádí } \underline{\text{www.tzb-info.cz}} \text{ [15]}$$

$\epsilon_{SL} = 0,15$ platí pro modrý povrch, emisivita bílého povrchu je menší (0,1).

Ztrátový tepelný výkon (vedení a přestup) :

$$q_k = k * (T_A - T_v) \quad (\text{na } 1 \text{ m}^2 \text{ vnější teplosměnné plochy})$$

kde k je součinitel vedení tepla rovinné stěny ($k = 1/R$). (2.34)

$$k = \frac{1}{\frac{\delta_{oc}}{\lambda_{oc}} + \frac{\delta_2}{\lambda_{IZ}} + \frac{\delta_3}{\lambda_L} + \frac{1}{\alpha_v}} = \frac{1}{\frac{0,003}{15} + \frac{0,1}{0,047} + \frac{0,005}{0,21} + \frac{1}{10}} = 0,4441 \text{ W.m}^{-2}\text{.K}^{-1}$$

(2.35)

kde δ je tloušťka stěny, λ příslušná tepelná vodivost a α_v je součinitel přestupu tepla vzduchu.

Při obtékání návěsové soupravy se za kabinou tahače a za zádí návěsu, respektive jeho čelem, vytváří vzduchové kapsy, které snižují přestup tepla. Proudící vzduch neustále cirkuluje kolem dokola vnějšího pláště „obr 2.8“ a „obr 2.9“, jak bylo uvedeno v paragrafu 2.2.1.

Hodnota $\alpha_v = 10 \text{ W.m}^{-2}\text{.K}^{-1}$ je odhad po konzultaci s katedrou energetických zařízení, TUL.

$$q_k = 0,4441 * (230 - 5) = 99,93 \text{ W.m}^{-2} \quad (\text{na } 1 \text{ m}^2 \text{ teplosměnné plochy})$$

$$Q_k = 2 * S_c * q_k = 832,42 \text{ W}$$

Ztrátový tepelný výkon (radiace) :

$$T_{pov} = T_{SL} = 12,44 \text{ } ^\circ\text{C}$$

$$M_{e0\ 8\text{C}} = \sigma * T^4 = 376,71 \text{ W*m}^{-2}$$

$$M_{e0\ DT} = 38,05 \text{ W*m}^{-2}$$

$$M_{e0\ PR} = 207,78 \text{ W*m}^{-2}$$

$$\epsilon_{SL} = 0,15 \quad q_e = 0,15 * M_{e0} = 31,12 \text{ W*m}^{-2}$$

Vnější vyzařovací plocha skelného laminátu se mění s tloušťkou izolace.

Její velikost jsme spočítali obdobně jako $S_{č k}$.

Pro 80 mm izolace je to $5,17 \text{ m}^2$, pro 100 mm = $5,35 \text{ m}^2$, 150 mm = $5,99 \text{ m}^2$

$$S_{č e} = 5,35 \text{ m}^2$$

$$Q_e = q_e * 2 * S_{č e} = 333,00 \text{ W}$$

Celkový ztrátový tepelný výkon čela (obtékání vzduchem) :

$$Q_{c2} = Q_k + Q_e = 1165,42 \text{ W}$$

t [mm]	Typ proudění	α [W/m ² .K]	T _p [°C]	q _k [W/m ²]	Q _k [W]	q _e [W/m ²]	Q _e [W]	Q _{c2} [W]
80	Volná konvekce	5	28	116,69	972,03	44,49	460	1432,03
	Nucená konvekce	10	14,74	123,08	1025,21	32,96	340,81	1366,01
100	Volná konvekce	5	23,8	95,68	796,99	40,70	435,51	1232,49
	Nucená konvekce	10	12,44	99,93	832,42	31,12	333	1165,42
150	Volná konvekce	5	16,05	65,88	548,88	34,03	407,69	956,43
	Nucená konvekce	10	8,26	67,83	564,99	27,88	334,02	899,01

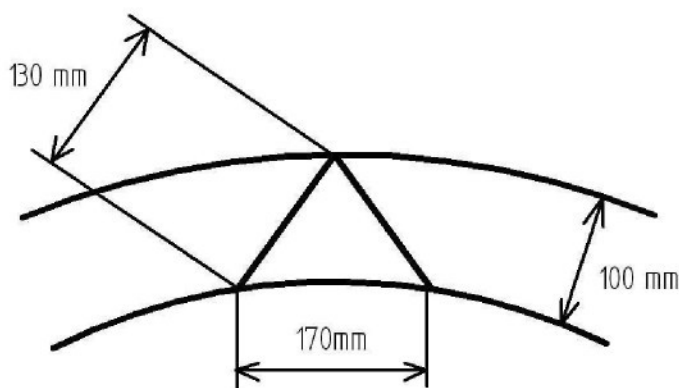
Tab 2.3 : izolace ROCKWOOL – porovnání tepelných ztrát na čelech

2.4 Výpočet přenosu tepelných mostů

2.4.1 Výztužné obruče

Výztužné obruče tvoří významné tepelné mosty. Uplatňuje se u nich hlavně přenos tepla vedením, neboť tepelná vodivost nerez oceli je řádově 100násobně větší než u izolace. Je však nutné vyplnit prostory mezi vnitřním pláštěm, výztužními obručemi a vnějším pláštěm izolací, protože pak by docházelo k velkému přenosu tepla radiací, jak bylo uvedeno v paragrafu 2.2.2.

Velikost této radiace je dána velkým rozdílem teplot rovnoběžných ploch.



Obr. 2.12 Výztužná obruč – izolace 100 mm

Korozivzdorná chrom – niklová ocel DIN 1.4301 :

Běžná uhlíková ocel (0,5 % C) má λ kolem $50 \text{ W.m}^{-1}.\text{K}^{-1}$, ale s přibývajícími legurami klesá její součinitel tepelné vodivosti. Detailní parametry a vlastnosti této chrom (18%) – niklové (10%) oceli jsou uvedeny v „Příloha P1“.

$$\lambda_{oc} = 15 \text{ W.m}^{-1}.\text{K}^{-1} \quad \rho_{oc} = 7900 \text{ kg.m}^{-3} \quad c_{p,oc} = 500 \text{ J.kg}^{-1}.\text{K}^{-1}$$

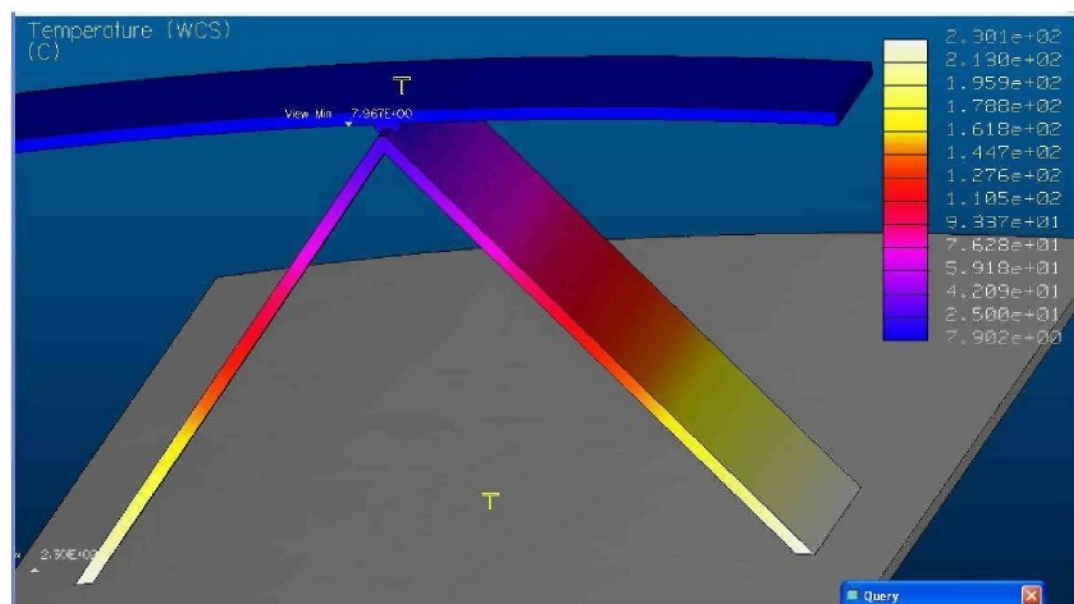
Výpočet přenosu tepla provedeme pouze pro vedení skrze ocelové pásy. Tloušťka pásků je 3 mm, šířka 40 mm. Celkový počet pásků 276. Mění se však délka pásu v závislosti na tloušťce izolace. Celková teplosměnná plocha pro všechny tři typy izolace je stejná $S_{VO} = 0,033 \text{ m}^2$.

$$q_{k,VO} = \frac{\lambda_{oc}}{\delta_{VO}} * (T_A - T_V) = 25\,961,53 \text{ W.m}^{-2} \quad (2.36)$$

$$Q_{k,VO} = q_k * S_{VO} = 858,85 \text{ W} \quad (2.37)$$

t [mm]	Délka pásu výztužné obruče[mm]	$q_{k VO} [\text{W.m}^{-2}]$	$Q_{k VO} [\text{W}]$
80	105	32142,86	1060,71
100	130	25961,53	858,85
150	195	17307,69	571,00

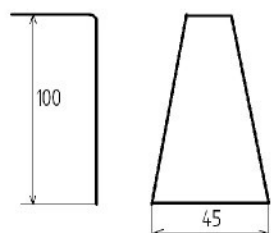
Tab. 2.4 : porovnání tepelných ztrát u výztužných obrúčí – pouze vedení



Obr. 2.13 : průběh teplot ve výztužných obrúčí

2.4.2 Napichovací hroty

Celkové tepelné ztráty skrze napichovací hroty, které jsou nastříhány z plechu tloušťky 0,6 mm jsou zanedbatelně malé. $Q_k = 0,35 \text{ W}$.



Obr. 2.14 : napichovací hrot



Obr. 2.15 : pohled na plášt' cisterny s napichovacími hrotý

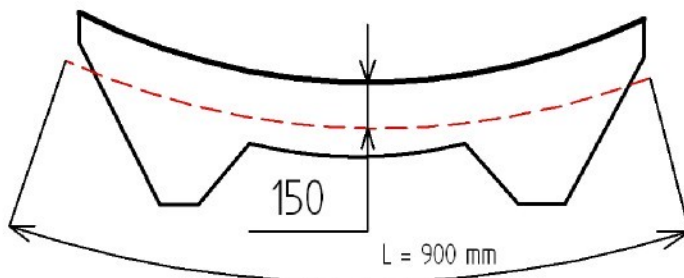
2.4.3. Páteřní stojiny a podpěra

Výpočet přenosu tepla skrze páteřní stojiny převedeme na rovinné vedení tepla plechem páteřní stojiny o tloušťce 4 mm a délce 900 mm. Jedná se o velmi hrubý výpočet, ale velikost tepelného toku má svůj vliv na celkové tepelné ztráty. Páteřních stojin včetně točnice je šest (2xplech). Podpěra nohou je počítána jako polovina páteřní stojiny.

$$S_{PS} = 13 * 0,9 * 0,004 = 0,048 \text{ m}^2 \quad (2.38)$$

$$q_{k\ PS} = \frac{\lambda_{oc}}{\delta_{PS}} * (T_A - T_V) = 22\ 500 \text{ W.m}^{-2} \quad (2.29)$$

$$Q_{k\ PS} = q_{k\ PS} * S_{PS} = 1080,54 \text{ W} \quad (2.37)$$



Obr. 2.16 : zjednodušené tepelné ztráty skrze páteřní stojiny

2.6 Celkový přenos tepla návěsu

Je dán součtem tepelných ztrát válcové plochy, čel a tepelných mostů.

t [mm]	Qc ₁ [W]	Qc ₂ [W]	Qc ₃ [W]	Qc [W]
80	8442,11	1366,01	2141,25	11 949,37
100	6954,52	1165,42	1939,39	10 059,33
150	4912,77	899,01	1651,54	7463,32

Tab. 2.5 : celkové tepelné ztráty s izolací ROCKWOOL

3. Návrh nové izolační hmoty a konstrukce vnějšího pláště

3.1 Současní výrobci cisternových návěsů pro převoz bitumenu



Type TSA 30.3-4 GGVS/ADR

Obr. 3.1 : cisternový návěs – Feldbinder, [14]

Německý Feldbinder :

Pohotovostní hmotnost 7500 kg, celkový objem nádrže 30 000 dm³.

Tepelná izolace cisternového návěsu se skládá z kamenné vlny o tloušťce 50 mm a 50 mm silné vrstvy z polyuretanové pěny.



Obr. 3.2 : cisternový návěs – Schwarzmüller, [13]

Rakouský Schwarzmüller :

Pohotovostní hmotnost 6300 kg , celkový objem nádrže 31 000 dm³ .

Tepelná izolace z minerální plsti tloušťky 100 mm.

3.2 Návrh použití nové izolační hmoty

Použití pouze samostatné polyuretanové pěny jako izolace neumožňuje její nízká provozní teplota. Většina dostupných PU pěn má oblast použití do 150 °C. Proto se používá ve spojení s kamennou vlnou – viz zmíněný výrobce cisternových návěsů Feldbinder, kde teplota na straně vnějšího povrchu nádrže dosahuje teplot 230 °C.



Obr. 3.2 : izolace ORSIL

Nová izolaci na válcové plochy návěsu je od firmy ORSIL – typ ML 3 a pro čela je použita izolace ORSIL – typ ORSTECH 45.

Rohož ML 3 – ISOVER :

Lamelová rohož jednostranně nalepená na vysoce odolné hliníkové fólii vyztužené mřížkou vhodná na rozvody tepla a TUV, vzduchotechnická potrubí, průmyslové zásobníky do 250 °C a protihlukové izolace potrubí. Maximální teplota použití 260 °C nebo 100 °C na straně polepu. Třída reakce na oheň: A2.

Pokud má izolace vícevrstev, spoje by měly být uspořádány střídavě, aby nedocházelo k tepelným mostům.

Tepelná ochrana – ISOVER :

O vynikajících tepelně izolačních vlastnostech materiálů z minerální vlny Isover a Orsil se můžete přesvědčit v jednotlivých kapitolách katalogu, kde najeznete doporučené výrobky do konkrétních konstrukcí. Tepelně technické vlastnosti stavebních konstrukcí se řídí dle požadavků uvedených v normě ČSN 73 0540-2 z roku 2002 Tepelná ochrana budov. Tato norma stanovuje tepelně technické požadavky pro správný návrh budov, tak aby byl zajištěn požadovaný stav vnitřního prostředí při jejich užívání.

3.3 Návrh konstrukčního řešení vnějšího pláště

3.3.1 Návrh nových výztužných obručí

Místo stávajících výztužných obručí použijeme dilatačního vlnovce, který je vyroben z nerez plechu tloušťky 1 mm a šířky 60 mm, jak je vidět na „obr. 3.3“.

Distanční vlnovec se nekupuje, jen se nastříhají plechy a ty se potom vytvarují.



Obr. 3.3 : nové výztužné obruče, zdroj [13]

3.3.2 Technologie obalování vnějším plechem

Postup je ten, že se nejdříve na krajích samotné nádrže navaří původní výztužné obruče s trojúhelníkovými podpěrami. Mezi nimi se pro rovnoramenné dodržení tloušťky izolace natáhne pomocný provázek a ve vzdálenosti menší, než je šířka plechů se nabodují distanční vlnovce. Nerovnosti povrchu nádrže je třeba dorovnat vypodložením tak, aby výška všech distančních vlnovců byla stejná s tloušťkou izolace.

Mezi vlnovce se vloží izolace, která se přichytává pomocí pásek jen, aby nespadla. Po obložení celého průměru se stáhne slabými dráty. Způsob obložení není přesně dán, může to být zhora nebo zespoda.

Poté se přikládá opláštění z nerez plechu odshora tak, aby překrytí bylo ve spodní části, další pás pak překrývá ten předchozí. Všechna překrytí tak o 30 mm. Vše se pospojuje provizorně páskou.

Potom se na jednotlivé svislé spoje položí profilová gumová pánska a přes ní se vše stáhne vyrobenými pásy z nerez oceli, tzv. objímkami.

Konce objímek jsou zahnuty a opatřeny válečky s dírami a dotaženy k sobě pomocí šroubu s vnitřním šestihranem a samojistnou maticí viz „Obr.3.4“.

Snýtování ve spodní části se provede následně. Tloušťka gumové pásky je 2 mm a tloušťka objímky je 1 mm.

Na jiná místa, kde jsou různé průniky, točna, opěrné nohy apod. se ve vzdálenosti těch 100mm navaří potřebný plocháč a příchyty, ke kterým se plech nýtuje. Tyto místa a všechny přechody se potom překrejí vhodným pružným tmelem. Netmelí se svislé spoje stažené objímkami.



Obr. 3.4 : objímka s gumovým pásem, zdroj [13]

3.4 Výpočet sdílení tepla s izolací ISOVER

3.4.1 Sdílení tepla podél válcové plochy a na čelech

Výpočet sdílení tepla válcové nádoby a čela provedeme stejně jako v článku 2.2 a 2.3.

Typ izolace : Lamelová rohož ML 3 :

Součinitel tepelné vodivosti závisí na střední teplotě, dle DIN 52612.

Vlastnosti a parametry izolace ISOVER jsou uvedeny v „Příloha P3“.

$$\lambda_{iz\ stř} = 0,0597 \text{ W*m}^{-1}\text{K}^{-1}$$

$$\rho_{iz} = 30 \text{ kg*m}^{-3}$$

Typ izolace : ORSTECH 45 – tepelně izolační deska :

Součinitel tepelné vodivosti závisí na střední teplotě, dle DIN 52612.

Vlastnosti a parametry izolace ISOVER jsou uvedeny v „Příloha P3“.

$$\lambda_{iz\ stř} = 0,0605 \text{ W*m}^{-1}\text{K}^{-1}$$

$$\rho_{iz} = 35 \text{ kg*m}^{-3}$$

t [mm]	Typ proudění	α [W/m ² .K]	T _p [°C]	q _k [W/m ²]	Q _k [W]	Q _e [W/m ²]	Q _e [W]	Q _{c1} [W]
80	Volná konvekce	5	30,57	127,84	8268,45	15,64	1011,6	9280,00
	Nucená konvekce	32,91	9,43	141,44	9148,41	9,568	618,87	9767,28
100	Volná konvekce	5	25,67	103,8	6838,24	14,14	931,85	7197,11
	Nucená konvekce	32,91	8,43	112,62	7418,55	9,34	615,26	8033,88
150	Volná konvekce	5	18,99	69,96	4817,11	12,16	837,63	5654,7
	Nucená konvekce	32,91	6,95	73,85	5256,25	8,97	617,73	5873,98

Tab. 3.1 : izolace ISOVER – porovnání tepelných ztrát válcové plochy

t [mm]	Typ proudění	α [W/m ² .K]	T _p [°C]	q _k [W/m ²]	Q _k [W]	q _e [W/m ²]	Q _e [W]	Q _{c2} [W]
80	Volná konvekce	5	36,22	145,5	1212,07	52,45	542,36	1754,43
	Nucená konvekce	10	19,36	155,57	1295,89	36,81	380,59	1673,48
100	Volná konvekce	5	29,85	119,88	998,59	46,23	494,67	1493,26
	Nucená konvekce	10	15,77	126,6	1054,64	33,81	361,71	1416,35
150	Volná konvekce	5	20,72	83,23	693,31	37,97	454,91	1148,2
	Nucená konvekce	10	10,76	84,42	719,89	29,79	356,96	1076,86

Tab. 3.2 : izolace ISOVER – porovnání tepelných ztrát na čelech

3.4.2 Výpočet tepelných mostů

Výpočet tepelných mostů se řídí novou konstrukcí výztužných obručí a odstraněním napichovacích hrotů, jak bylo naznačeno v paragrafu 2.4.1 a 2.4.3. Tloušťka dilatačního vlnovce je 1 mm a šířka je 60 mm. Celkem $7 \times 64 = 448$.

Do výpočtu přenosu tepla pomocí tepelných mostů se uplatňují 2x původní krajní obruče a 7x nový dilatační vlnovec. Vše pro tloušťky 80, 100, 150 mm.

Prostup skrze páteřní stojiny je stejný jako u původního řešení Rockwool.

t [mm]	Q _{c1} [W]	Q _{c2} [W]	Q _{c3} [W]	Q _c [W]
80	9767,28	1673,48	2461,40	13 902,16
100	8033,88	1416,35	2186,74	11 636,97
150	5873,98	1076,86	1818,26	8769,1

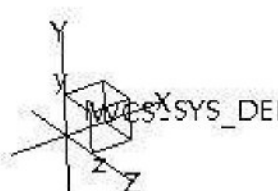
Tab. 3.3 : celkové tepelné ztráty s izolací ROCKWOOL

4. Pevnostní kontrola provedných úprav pomocí software

4.1 Pevnostní analýza původního řešení

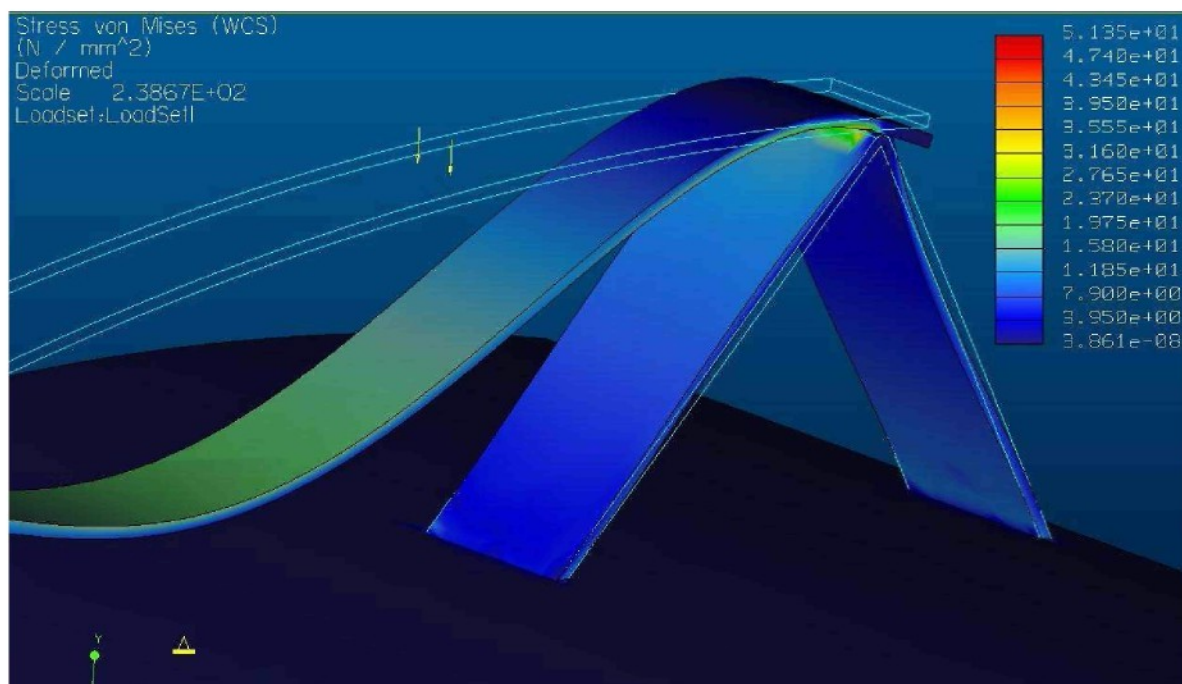
K simulaci byl použit software PRO/MECHANICA.

Simulace pro zatížení silou $F = -1000 \text{ N}$ (100kg) ve směru y.

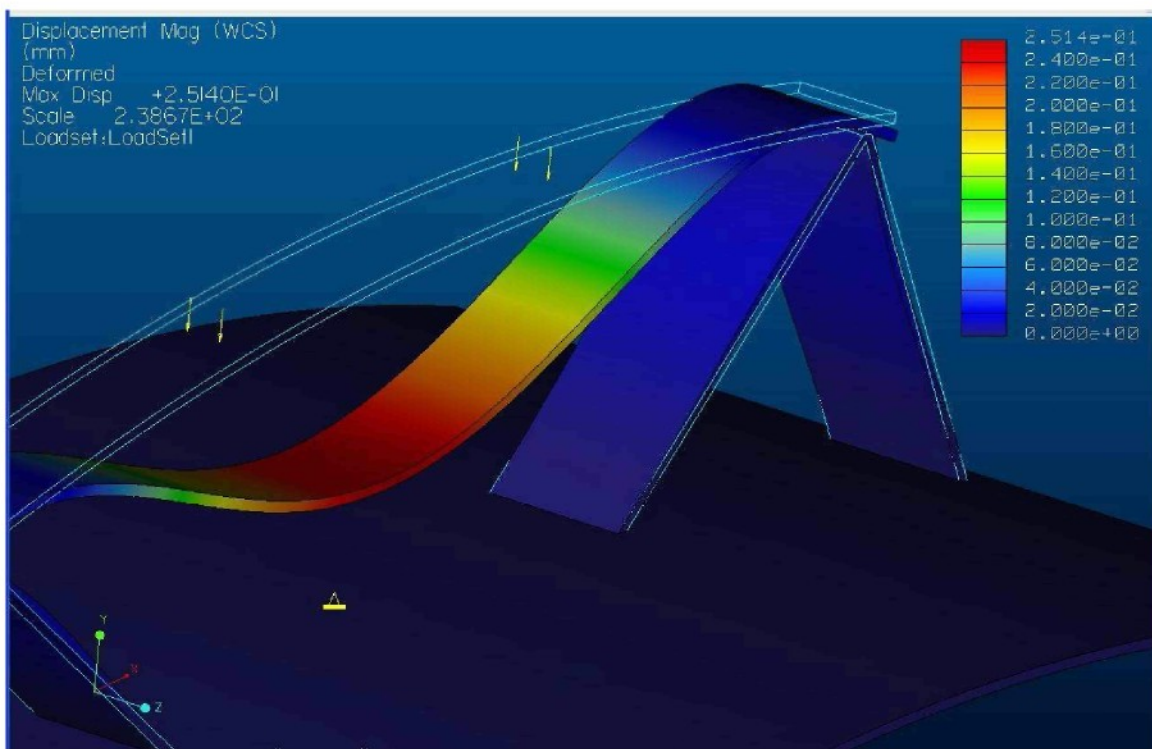


Obr. 4.1 souřadnicový systém

Hodnota maximálního napětí 51,35 MPa v místě svaru.



Obr. 4.2 : napětí výztužné obruče

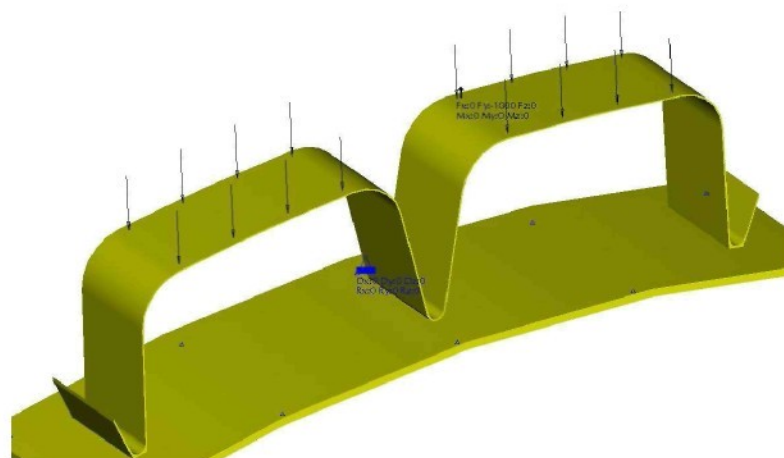


Obr. 4.3 : posuvy výztužné obruče

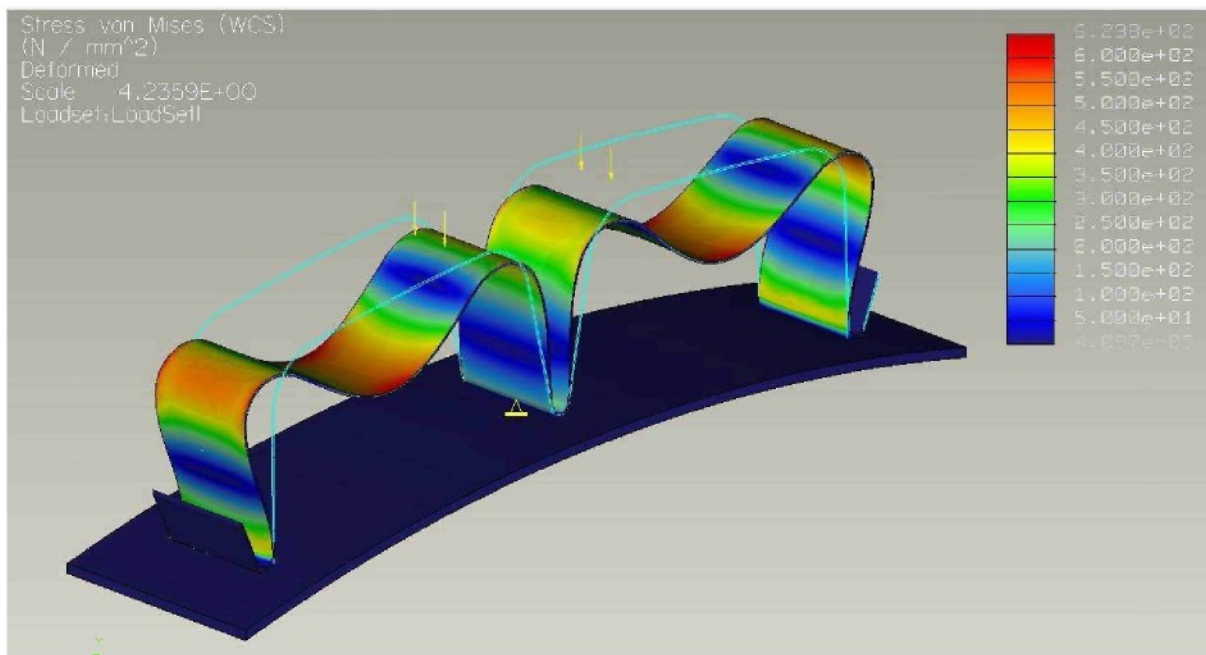
Hodnota maximálního posuvu je 0,25 mm.

4.2 Pevnostní analýza nového řešení

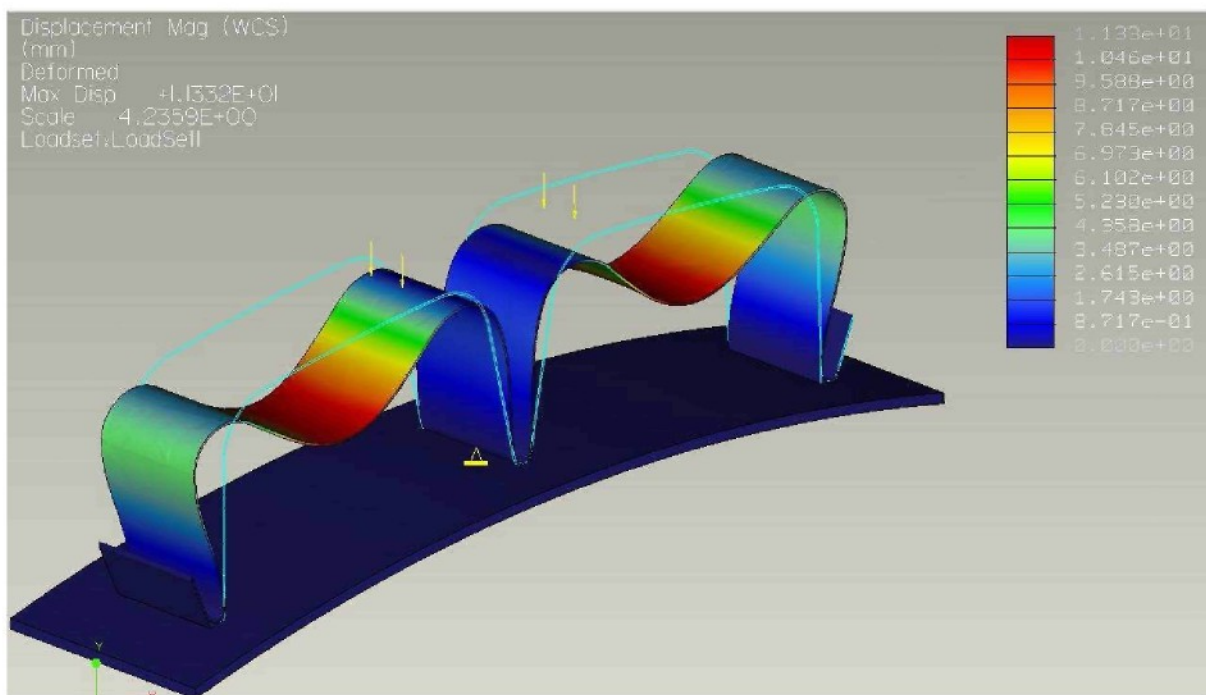
Zatížení silou 1000 N pouze na vnějších plochách. Souřadný systém je shodný jako v článku 4.1.



Obr. 4.4 : zatěžující síla



Obr. 4.5 : napětí v distančním vlnovci



Obr. 4.6 : posuvy distančního vlnovce

Maximální hodnoty napětí 623 MPa a posuvu 11,33 mm jsou extrémní, ve skutečnosti bude namáhání vlnovce daleko menší. Tlak vyvinutý na vlnovec se rozprostírá přes objímku a gumovou pásku na větší plochu. Zatížení vlnovce bude spíše tlakové než ohybové.

5. Ekonomické zhodnocení navržených úprav

5.1 Výpočet mezd

Odstaněním pracného navařování napichovacích hrotů jsme ušetřili 10 pracovních hodin. Jedná se o odhad po konzultacích s firmou KOBIT. Tabulka 5.1 popisuje reální náklady firmy KOBIT na zaměstnance.

P Mzdy - 85 až 95Kč	260	10	105 Kč	1 050 Kč
P Mzdy - poj a ostat= 35,36%			35,36%	375 Kč
P Mzdy - režie = 410%			500,00%	4 305 Kč
Celkem mzdy				5 730 Kč

Tab. 5.1 : mzdová tabulka KOBIT s.r.o.

5.2 Kalkulace materiálových nákladů

Tabulka 5.2 ukazuje úsporu hmotnosti nové ocelové konstrukce o 24,33 kg pro referenční tloušťku izolace 100 mm.

Pokud uvažujeme cenu 50,- kč za jeden kilogram nerez oceli DIN 1.4301, potom je zde úspora 1216,- kč. Cena leštěného tenkého plechu, ze kterého jsou vyrobeny napichovací hroty se pohybuje okolo 190,- kč za kilogram, což znamená úsporu 756 kč, ale tu je třeba vykompenzovat cenou gumových pásů cca 180,- kč.

Původní řešení	Výztužné obruče [kg]	Posuvné hranoly [kg]	Napichovací hroty [kg]	Celkem [kg]
	(9x)	(16x)	(249x)	
	67,82	32,84	3,98	
Nové řešení	Výztužné obruče [kg]	Objímka [kg]	Gumový pás [kg]	Celkem [kg]
	krajní původní (2x)	vnitřní nové (7x)	(7x)	
	15,76	38,43	19,22	
			6,90	80,31

Tab. 5.2 : porovnání hmotnosti konstrukce vnějšího pláště

	Válcová plocha [kg]	Čela [kg]	Celkem [kg]
ROCKWOOL	219,88	36,80	256,67
ISOVER	188,47	41,40	229,87

Tab. 5.3 : porovnání hmotnosti nové a původní izolace

Nová izolace je o 26,8 kg lehčí.

Ceníky izolací jsou uvedeny v „Příloha P2“ a „Příloha P3“.

Typ izolace	Cena celkem bez DPH [kč]	Cena celkem s 19% DPH [kč]
ROCKWOOL	16387	19500
ISOVER	16078	19133

Tab. 5.4 : cenové srovnání izolace

Celková úspora pro v konstrukci vnějšího pláště a 100 mm tlusté izolace jako referenční tloušťky je 7889,- kč.

Celková úspora hmotnosti je 51,13 kg.

6. Závěr

Diplomová práce v první části popisuje současný stav konstrukce vnějšího pláště a tepelné izolace pro převoz bitumenu.

Následující kapitola vysvětluje základní principy přenosu tepla a hmoty, zabývá se poměrně detailně výpočtem prostupu tepla mezi vnitřním a vnějším pláštěm cisternového návěsu. Velká část této kapitoly je věnována prostupu tepla skrze válcovou plochu a čela návěsu, včetně výpočtu tepelných mostů. Výpočet se vztahuje na konkrétní modelovou situaci přepravy horkého asfaltu, která v běžném provozu může nastat.

Třetí kapitola analyzuje současné výrobce cisternových návěsů a zabývá se návrhem konstrukčního řešení nových výztužných obručí, tzv. dilatačních vlnovců. Je zde také proveden návrh na použití nové izolační hmoty Isover.

V další kapitole je proveden pevnostní výpočet provedených úprav výztužných obručí. Pevnostní analýzu páteřních stojin nebylo možné provést, protože firma Kabit s.r.o. nedodala potřebné materiály pro provedení adekvátní analýzy stojin. Stojiny jsou základními nosními prvky cisterny a jejich případný špatný návrh zeslabení by ohrozil bezpečnost silničního provozu.

Poslední část obsahuje ekonomické zhodnocení provedených úprav.

Co se týče bodů zadání diplomové práce, tak všechny body byly splněny, důvody absence pevnostní analýzy stojin jsou uvedeny níže.

Přínos nové konstrukce je hlavně ve snížení její hmotnosti a tedy i ceny za vstupní materiál, při zachování funkčnosti. Nová izolace ISOVER má sice horší tepelné vlastnosti, ale ty mají zanedbatelný vliv na funkci. Tepelná kapacita horkého asfaltu je dostatečně velká pro běžnou přepravu.

Celkově se podařilo snížit pohotovostní hmotnost návěsu a ušetřit nemalé finanční prostředky při obalování cisternového návěsu vnějším pláštěm.

7 Seznam použité literatury

- [1] Technické podklady firmy KOBIT s.r.o.
- [2] Šesták, J., Rieger, F.: Přenos hybnosti, tepla a hmoty. Skriptum ČVUT, Praha 2004.
- [3] Šesták, J., Bukovský, J., Houška, M.: Tepelné pochody – Transportní a termodynamická data. Skriptum ČVUT, Praha 2004.
- [4] Hejzlar, R.: Sdílení tepla. Skriptum ČVUT, Praha 2004.
- [5] Urbášek, J.: Termomechanika a mechanika tekutin. TUL, Liberec 2005.
- [6] Vlk, F.: Podvozky motorových vozidel, Nakladatelství a vydavatelství VLK, Brno, 2003.
- [7] Šalamoun, Č.: Motorová vozidla IV. Skriptum ČVUT, Praha 1991.
- [8] Smith, H.: An introduction to modern vehicle design. Butterworth – Heinemann Ltd., 2002.
- [9] Leinveber, J., Vávra, P.: Strojnické tabulky, Pedagogické nakladatelství ALBRA, Úvaly, 2003.

Internetové stránky :

- [10] www.kobit.cz internetové stránky firmy KOBIT s.r.o.
- [11] www.rockwool.cz internetové stránky firmy Rockwool
- [12] www.isover.cz internetové stránky firmy Isover
- [13] www.schwarzmueller.cz internetové stránky firmy Schwarzmüller CZ
- [14] www.feldbinder.cz internetové stránky firmy Feldbinder
- [15] www.tzb-info.cz stránky o technických zařízení budov
- [16] www.paramo.cz internetové stránky firmy PARAMO Pardubice
- [17] www.klenor.cz internetové stránky firmy Klenor s.r.o.

Příloha 1

Technický list : Austenitická korozivzdorná ocel DIN 1.4301

WNr. (číslo materiálu) 1.4301	Cr-Ni austenitická korozivzdorná ocel	OCEL Kurzname (značka) X5CrNi18-10
---------------------------------------------------	-------------------------------------------------	--------------------------------------------------------

Chemické složení [hm. %]

C	Si	Mn	P	S ¹⁾	Cr	Ni	N
max 0,07	max 1,00	max 2,00	max 0,045	max 0,015	17,0–19,5	8,00–10,5	max 0,11

Normy DIN

DIN EN 10088 /1-3-95 korozivzdorné oceli

DIN EN 10028/7-97 ploché výrobky z ocelí na tlakové nádoby; korozivzdorné oceli

DIN EN 10022/5-00 výkovky z ocelí na tlakové nádoby; martenzitické, austenitické a austeniticko-fertické korozivzdorné oceli

DIN EN 10250/4-00 volné výkovky z ocelí pro všeobecné použití; korozivzdorné oceli

DIN EN 10269-99 oceli a niklové slitiny na upevňovací části pro zvýšené a/nebo snížené teploty

DIN 4133-91 ocelové komínky

DIN 5512/3-91 oceli na kolejová vozidla; ploché výrobky z korozivzdorných ocelí

DIN 17440-96 korozivzdorné oceli; plech, pás válcováný za tepla a válcované tyče na tlakové nádoby, tažený drát a výkovky

DIN 17441-97 korozivzdorné oceli; pás válcováný za studena na tlakové nádoby

DIN 17442-77 vývalky, výkovky a odlišky z korozivzdorných ocelí na lékařské nástroje

Mechanické vlastnosti

Rozměr t, d [mm]	≤ 6 ²⁾	≤ 12 ³⁾	≤ 75 ⁴⁾	≤ 160 ⁵⁾ ¹⁰⁾	161–250 ⁵⁾	
Stav	po rozpouštěcím žíhání					
Mez kluzu R _p 0,2 [MPa] min	230 ⁶⁾	210 ⁶⁾	190 ⁹⁾			
Mez kluzu R _p 1,0 [MPa]	260 ⁶⁾	250 ⁶⁾	225 ⁹⁾			
Mez pevnosti R _m [MPa]	540–750	520–720	500–700			
Tažnost A [%] min	45 ⁶⁾ ⁷⁾		45 ⁶⁾	45 ⁹⁾	35 ⁶⁾ ⁹⁾	
Kontrakce Z [%]						
Nárazová práce KV [J]	podél min	–	90	100 ⁹⁾	–	
	napříč min	–	60	–	60 ⁹⁾	
Tvrdost HB max		–	–	215 ⁹⁾		
Modul pružnosti E [GPa]			200			
Rozměr t _R [mm]			250 ¹¹⁾			
Stav	po rozpouštěcím žíhání					
Mez kluzu R _p 0,2 [MPa] min			200			
Mez kluzu R _p 1,0 [MPa]			230			
Mez pevnosti R _m [MPa]			500–700			
Tažnost A %	podél min		45			
	napříč min		35			
Nárazová práce KV [J]	podél min		100			
	napříč min		60			
KV ⁻¹⁹⁶ [J]	napříč min		60			
Modul pružnosti E [GPa]			200			
Min. hodnoty meze kluzu R _p 0,2 a R _p 1,0 a meze pevnosti R _m při zvýšených teplotách (stav po rozpouštěcím žíhání)						
Teplota [°C]	100	150	200	250	300	
Mezi kluzu	R _p 0,2	155	140	127	118	
[MPa]	R _p 1,0	190	170	155	145	
Mez pevnosti	R _m [MPa]	450	420	400	390	
					380	
					380	
					375	
					360	
					335	
Hodnoty pevnosti v tažu, tažnosti a nárazové práce ve zpevněném stavu						
Označení	C700	C800	C850	C1000	C1150	C1300
Mez pevnosti R _m [MPa]	700–850	800–1000	850–1000	1000–1150	1150–1300	1300–1500
Tažnost A [%] min	20	12	–	–	–	–
Nárazová práce	KV [J] min	80	–	–	–	–

Mechanické vlastnosti při nízkých teplotách		
Teplota [°C]	-150	-196
Mez kluzu $R_{p0,2}$ [MPa] min	370	400
Mez pevnosti R_m [MPa] min	1400	1500
Tažnost A [%] min	40	35
Nárazové práce KV [J] min	60	60

Hodnoty modulu pružnosti E při zvýšených teplotách

Teplota [°C]	100	200	300	400	500
Modul pružnosti E [GPa]	194	186	179	172	165

Fyzikální vlastnosti

Hustota	Měrná tepelná kapacita c_p [J·kg⁻¹·K⁻¹]	Tepelný součinitel roztažnosti α [K⁻¹]	Tepelná vodivost λ_i [W·m⁻¹ K⁻¹]	Rezistivita
ρ [kg·m⁻³] 7 900	500	$16 \cdot 10^{-6}$	15	$0,73$

Odolnost proti degradačním procesům

ODOLNOST PROTI MEZIKRYSTALOVÉ KOROZI

- v dodávaném stavu: ano
- po zcitlivění: ne

Technologické údaje

TEPELNÉ ZPRACOVÁNÍ

rozpuštěcí žíhání 1000–1100 °C ochlazovat ve vodě nebo na vzduchu⁸⁾

TVÁŘITELNOST

teploty tváření 1200–900 °C ochlazovat na vzduchu

SVAŘITELNOST

svařitelná všemi obvyklými postupy

Použití

Přístroje v potravinářském průmyslu (svařitelná, dobrě leštitevná, zvláště hlubokotažná, odolná pro opotřebení).

Ostatní vlastnosti

magnetovatelnost: ne

Porovnání se zahraničními materiály

ISO		EURO		Česká republika	
X5CrNi18-9E	ISO 4954-93	X5CrNi18-10	EN 10088/1-3-95	X5CrNi18-10	ČSN EN 10088/1-3-97
X5CrNi18-9	ISO 9328/5-91	X5CrNi18-10	EN 10028/7-97	X5CrNi18-10	ČSN EN 10028/7-99
X5CrNi18-9	ISO 9329/4-97	X5CrNi18-10	EN 10222/5-00	17 240	ČSN 41 7240
X5CrNi18-10	ISO 6931/2-89	X5CrNi18-10	EN 10250/4-00		

Poznámky

¹⁾ pro výrobky určené k obrábění je doporučen a povolen obsah S = 0,015–0,030 %

²⁾ pás vácovaný za studena

³⁾ pás vácovaný za tepla

⁴⁾ plech vácovaný za tepla

⁵⁾ tyče a vácované dráty

⁶⁾ napříč

⁷⁾ pro materiál rovnáný protahováním je min hodnota o 5% nižší

⁸⁾ nad 2 mm tloušťky pouze ve vodě

⁹⁾ pro vácované dráty platí pouze hodnota meze pevnosti

¹⁰⁾ pro profily a tyče s t ≤ 35 mm tvářené za studena platí: HB = max 315, R_m = 500–900 MPa, A = min 36%

¹¹⁾ výkovky

Příloha 2

Ceník a technický list : Tepelná izolace ROCKWOOL

Technické izolace - rohože

NÁZEV	tl. mm	Kč / m	m / bal.	TECHNICKÉ ÚDAJE	POPISEK
LAROCK 40 ALS	25	89,00	5	Šířka: 1 000 mm hydrofobizováno	Skrúzovatelná lamelová rohož polepená hliníkovou fólií se skleněnou mřížkou (ALS). Použití pro tepelnou a zvukovou izolaci technologických zařízení - potrubí, kotlů, vzduchotechnického potrubí. Rohož je tlakově zatížitelná. Max. provozní teplota 250 °C.
	30	98,00	5		
	40	116,00	5		
	50	135,00	4		
	60	154,00	3		
LAROCK 65 ALS	30	121,00	5	Šířka: 1 000 mm hydrofobizováno	Skrúzovatelná lamelová rohož polepená hliníkovou fólií se skleněnou mřížkou (ALS). Použití pro tepelnou, zvukovou a protipožární izolaci technologických zařízení - potrubí, kotlů, vzduchotechnického potrubí. Rohož je tlakově zatížitelná. Max. provozní teplota 250 °C.
	40	145,00	5		
	50	169,00	4		
	60	193,00	3		
	80	241,00	2,5		
	100	289,00	2		
VENTIZOL 35 ALS	30	78,00	5	Šířka: 1 000 mm hydrofobizováno	Izolační rohož s polepem hliníkovou fólií se skleněnou mřížkou (ALS) pro tepelnou a zvukovou izolaci vzduchotechnického potrubí, nádrží, atd. Materiál není tlakově zatížitelný. Max. provozní teplota 250 °C.
	40	99,00	5		
	60	141,00	4		
	80	183,00	3		
	100	225,00	2,5		
	120	267,00	2		
WM 65 ZINC	40	148,00	5	Šířka: 1 000 mm hydrofobizováno	Rohož s našitým drátěným pozinkovaným pletivem určená pro tepelnou, zvukovou a protipožární ochranu technologických zařízení. Max. provozní teplota 650 °C.
	50	166,00	4		
	60	183,00	3		
	80	218,00	2,5		
WM 80 ZINC	100	252,00	2		Rohož s našitým drátěným pozinkovaným pletivem určená pro tepelnou, zvukovou a protipožární ochranu technologických zařízení. Max. provozní teplota 700 °C.
	40	167,00	5		
	50	196,00	4		
	60	225,00	3		
	70	254,00	2,5		
WM 80 ALU ZINC	80	283,00	2,5		Rohož s našitým drátěným pozinkovaným pletivem určená pro tepelnou, zvukovou a protipožární ochranu technologických zařízení. Max. provozní teplota 700 °C.
	100	341,00	2		
	40	231,00	5		
	50	260,00	4		
	80	289,00	3		
	70	319,00	2,5		
WM 105 ZINC	80	348,00	2,5		Rohož s našitým drátěným pozinkovaným pletivem určená pro tepelnou, zvukovou a protipožární ochranu technologických zařízení, komínových těles, výfuků, atd. Max. provozní teplota 700 °C.
	100	406,00	2		
	40	189,00	5		
	50	230,00	4		
	60	270,00	3		
RTD 80 ZINC	80	351,00	2,5		Rohož s našitým drátěným pozinkovaným pletivem určená pro tepelnou, zvukovou a protipožární ochranu technologických zařízení. Max. provozní teplota 700 °C.
	100	433,00	2		
	30	195,00	4		
	40	229,00	3		
	50	263,00	2,5		
	60	296,00	2		
	70	330,00	2		
RBM 100 ZINC	80	363,00	1,5		Rohož s našitým drátěným pozinkovaným pletivem určená pro tepelnou, zvukovou a protipožární ochranu technologických zařízení. Max. provozní teplota 700 °C.
	90	397,00	1,5		
	100	431,00	1,5		
	30	225,00	4		
	40	278,00	3		
	50	326,00	2,5		
	60	376,00	2		
KLIMAROCK 45 ALS	70	427,00	2		Rohož s našitým drátěným pozinkovaným pletivem určená pro tepelnou, zvukovou a protipožární ochranu technologických zařízení. Max. provozní teplota 700 °C.
	80	477,00	1,5		
	90	528,00	1,5		
	100	578,00	1,5		
	20	145,00	10		
	30	183,00	8		
	40	222,00	6		
	50	260,00	5		Skrúzovatelná lamelová rohož nové generace polepená hliníkovou fólií se skleněnou mřížkou (ALS) s vysokou odolností proti roztržení. Použití pro tepelnou a zvukovou izolaci technologických zařízení - potrubí, kotlů, vzduchotechnického potrubí. Rohož je tlakově zatížitelná. Max. provozní teplota 250 °C. AS kvalita.
	60	298,00	4		
	80	375,00	3		
	100	452,00	2,5		

Všechny výše uvedené materiály mají klasifikaci stupně hořlavosti ČSN 73 0862: třída B – nesnadno hořlavé.

Rohože WM, RTD 80 a RBM 100 lze dodat rovněž v provedení s nerezovým pletivem (INOX).

U výrobků s polepem (ALU, ALS) je nutno termín dodání konzultovat s výrobcem.

Povrchová úprava ALU (jen u rohože na drátěném pletivu WM 80 ALU ZINC): čistá nevyztužená hliníková fólie.

Povrchová úprava ALS: skleněnou mřížkou vyztužená hliníková fólie, se zvýšenou mechanickou odolností.

Technické izolace - desky

NÁZEV	tl. mm	Kč / m ²	m ² / bal.	TECHNICKÉ UDÁJE	POPIŠ
TECHROCK 40	40	59,00	7,5	Rozměry: 800 × 1 000 mm $\mu = 2$ hydrofobizováno	Izolační deska pro izolaci technologických zařízení (kotlů, nádrží a výměníků, vzduchotechnických potrubí, atd.). Střední objemová hmotnost 40 kg/m ³ . Max. provozní teplota 280 °C.
	50	74,00	6		
	60	88,00	5		
	80	118,00	4		
	100	147,00	3		
	120	176,00	2,5		
	140	206,00	2		
	160	235,00	2		
	180	265,00	1,5		
	40	77,00	6		
TECHROCK 80	50	96,00	5	Rozměry: 800 × 1 000 mm $\mu = 2$ hydrofobizováno	Izolační deska pro izolaci technologických zařízení (kotlů, nádrží, výměníků, vzduchotechnických potrubí, atd.) Střední objemová hmotnost 80 kg/m ³ . Max. provozní teplota 350 °C.
	60	115,00	4		
	80	154,00	3		
	100	192,00	2,5		
	120	230,00	2		
	140	269,00	1,5		
	160	307,00	1,5		
	180	346,00	1		
	40	83,00	6		
	50	104,00	5		
TECHROCK 120	60	125,00	4	Rozměry: 800 × 1 000 mm $\mu = 2$ hydrofobizováno	Izolační deska pro izolaci technologických zařízení (kotlů, nádrží, výměníků atd.). Pevněna AL5 fólií je určena pro požární izolaci pravouhlých VZT potrubí - systém PYROROCK. Střední objemová hmotnost 80 kg/m ³ . Max. provozní teplota 550 °C.
	80	166,00	3		
	100	208,00	2,5		
	120	250,00	2		
	140	291,00	1,5		
	160	333,00	1,5		
	180	374,00	1		
	20	57,00	10		
	30	86,00	8		
	40	114,00	5		
TECHROCK 160	50	143,00	4,5	Rozměry: 800 × 1 000 mm $\mu = 2$ hydrofobizováno	Izolační deska pro izolaci technologických zařízení (kotlů, nádrží, výměníků, kourovodů, komínů, atd.) Střední objemová hmotnost 100 kg/m ³ . Max. provozní teplota 550 °C.
	60	171,00	4		
	80	228,00	3		
	100	285,00	2		
	120	342,00	2		
	140	399,00	1,5		
	40	129,00	4		
	50	161,00	3		
	60	194,00	3		
	80	258,00	2		
TECHROCK 200	100	323,00	1,5	Rozměry: 800 × 1 000 mm $\mu = 2$ hydrofobizováno	Izolační deska pro izolaci technologických zařízení (kotlů, nádrží, výměníků, koufovodu, komínu, atd.) Střední objemová hmotnost 120 kg/m ³ . Max. provozní teplota 750 °C.
	120	387,00	1,5		
TECHROCK 250	40	172,00	3	Rozměry: 800 × 1 000 mm $\mu = 2$ hydrofobizováno	Izolační deska pro izolaci technologických zařízení (kotlů, nádrží, výměníků, koufovodu, komínu, atd.) Střední objemová hmotnost 150 kg/m ³ . Max. provozní teplota 750 °C.
	50	215,00	2		
	60	258,00	2		
	80	344,00	1,5		
	100	430,00	1		
	120	516,00	1		

Všechny výše uvedené materiály mají klasifikaci stupně hořlavosti ČSN 73 0862: třída B – nezádatno hořlavé.

DALŠÍ SORTIMENT

Rockwool, a. s., dál dodává desky RPB 8, RPB 12 a RPB 15 z importu. Tyto výrobky mají nízký obsah pojiva, A5 kvalitu, vysokou požární odolnost. Pro více informací kontaktujte našeho specialistu pro technické izolace.

DESKY S POLEPEM

Desky Techrock 40, Techrock 60, Techrock 80 a Techrock 100 je možno v tloušťkách od 40 do 120 mm dodat s jednostranným, případně oboustranným polepem hliníkovou fólií se skleněnou mřížkou (AlS) nebo nelepkacím černým (bílým) skleněným rounem - označení FB1 (FW1). Příplatek za jednostrannou úpravu je 80,- Kč/m² k základní ceně desky, za oboustrannou úpravu 120,- Kč/m². Nestandardní rozměry desek s polepem (1 000 × 1 000 mm nebo 1 000 × 1 200 mm) jsou dodávány na paletách. Výrobky s polepem jsou zařazeny do skupiny „C“.

Systém PYROROCK

Systém protipožární izolace pravouhlého vzduchotechnického potrubí vodorovně a svisle. Skládá se z izolačních desek Techrock 80 ALS a navárovacích trnů pro kotvení izolace. Systém zajišťuje požární odolnost při požáru zvnějšku EI 30 a 45 (minut) při tloušťce desky 40 mm, EI 60 (minut) při tloušťce desky 60 mm.

Doplňek – pásek ALS na peflepení spojů.

Trny nejsou předmětem dodávky Rockwool.



Ceny platí pro přímé smluvní odběratele a jsou uvedeny v Kč bez DPH.

TECHNICKÉ IZOLACE

VENTIZOL 35 ALS

SKRUŽOVATELNÝ PÁS KAŠIROVANÝ ALS FÓLIÍ

POPIS VÝROBKU *

Izolaci tvoří hydrofobizovaný pás z kamenné vlny (minerální plsti). Pásy jsou jednostranně nalepeny na nosnou podložku, kterou tvoří hliníková fólie vyztužená skelnou mřížkou (ALS).

OBLAST POUŽITÍ *

Pro izolaci vzduchotechnického potrubí a klimatizace. Materiál je vhodný pro využití v nenáročných aplikacích.

VLASTNOSTI KAMENNÉ VLNY ROCKWOOL

Tepelněizolační schopnosti. Nehořlavost – ochrana proti šíření plamene a požáru. Zvuková pohltivost. Vodoodpudivost a odolnost proti vlhkosti – deska je v celém objemu hydrofobizovaná. Paropropustnost. Rozměrová stálost.

• BALENÍ

Pásy VENTIZOL 35 ALS se dodávají v roličkách zabalených do smrštěitelné PE fólie, a to ve standardních délkách, popřípadě délkách sjednaných se zákazníkem. Hmotnost jedné role nepřesahuje 20 kg.

ROCKWOOL je zapojen do systému sdruženého plnění povinností zpětného odběru a využití odpadů z obalů „Systém tříděného sběru v obcích EKO-KOM“.

ROZMĚRY, VÝROBNÍ SORTIMENT A BALENÍ

Tloušťka (mm)	30	40	60	80	100	120
Šířka (mm)	1 000					
m ² / role	5	5	4	3	2,5	2

Nestandardní a v tabulce neuvedené rozměry výrobků po dohodě s ROCKWOOL, a. s.

TECHNICKÉ PARAMETRY

Vlastnost	Označení	Hodnota	Jednotka	Norma
Stupeň hořlavosti	-	B	-	ČSN 73 0862
Hygienická nezávadnost	Schvaleno Krajskou hygienickou stanici Ostrava – zkušební laboratoř č. 1118 akreditovaná ČIA – č. protokol 2840/2001 a 1647/2002			
Závislost tepelné vodivosti λ_m * na střední teplotě t_m	t_m	50	100	150 °C DIN
	λ_m	0,040	0,044	0,050 W.m ⁻¹ .K ⁻¹ 52612
Střední objemová hmotnost	ρ_s	tl. 30 mm tl. > 30 mm	40 35	kg.m ⁻³ ČSN EN 1602
Maximální provozní teplota	-	max. 250 **	°C	-
Měrná tepelná kapacita	C_p	840	J.kg ⁻¹ .K ⁻¹	ČSN 73 0540
Bod tání	t_f	> 1 000	°C	DIN 4102
Certifikát	070-022177		TZÚS Praha, Autorizovaná osoba č. 204	
Systém řízení jakosti	ISO 9001:2001 – certifikát č. 00134		Bureau Veritas Quality International CS (BVQI), s. r. o. Praha	
Systém péče o životní prostředí	ISO 14001:1996 – certifikát č. 140868		Bureau Veritas Quality International CS (BVQI), s. r. o. Praha	

* Orientační hodnoty λ_m stanoveny výpočtem.

** Teplota na vnější straně (na hliníkové fólii) nesmí přesáhnout 100 °C.

Informace obsažené v tomto technickém listě vypořádají o vlastnostech výrobků platných v době vydání. Vzhledem k neustálému vývoji materiálů může docházet ke změnám jejich vlastností.

ROCKWOOL®

specialista na technické izolace
tel.: 606 702 056, fax: 582 337 835

Více informací získáte na www.rockwool.cz

Rockwool, a. s.

U Háje 507/26, 147 00 Praha 4, tel.: 241 029 611, fax: 241 029 622,
e-mail: info@rockwool.cz, technické poradenství: **800 161 161**

TECHNICKÉ IZOLACE

TECHROCK 40, 60, 80, 100, 120, 150

TEPELNĚIZOLAČNÍ DESKA

POPIΣ VÝROBKU ·

Deska z kamenné vlny (minerální plsti) pojena organickou pryskyřici, hydrofobizovaná v celém objemu.

BALENÍ ·

Desky jsou baleny v polyetylénové fólii s označením výrobce a základními údaji o výrobku na štítku. Mohou být dodány i na paletách. ROCKWOOL je zapojen do systému sruženého plnění povinnosti zpětného odběru a využití odpadů z obalu „Systém tříděného sběru v obcích EKO-KOM“.

ROZMĚRY, VÝROBNÍ SORTIMENT A BALENÍ

Tloušťka (mm)	20	30	40	50	60	80	100	120	140	160	180
Délka × šířka (mm)	1 000 × 500										
Techrock 40 - m ² /balík	-	-	7,5	6	5	4	3	2,5	2	2	1,5
Techrock 60 - m ² /balík	-	-	6	5	4	3	2,5	2	1,5	1,5	1
Techrock 80 - m ² /balík	-	-	6	5	4	3	2,5	2	1,5	1,5	1
Techrock 100 - m ² /balík	10	8	5	4,5	4	3	2	2	1,5	-	-
Techrock 120 - m ² /balík	-	-	4	3	3	2	1,5	1,5	-	-	-
Techrock 150 - m ² /balík	-	-	3	2	2	1,5	1	1	-	-	-

Nestandardní velikosti materiálů Techrock 40, 60, 80, 100, 120, 150 je možné vyrobit po dohodě s ROCKWOOL, a. s.

TECHNICKÉ PARAMETRY

Vlastnost	Označení	Hodnota	Jednotka	Norma				
Stupeň hořlavosti	B	-	-	ČSN 73 0862				
Hygienická nezávadnost		Schváleno Krajskou hygienickou stanicí Ostrava – zkušební laboratoř č. 1118 akreditovaná ČIA – č. protokol 2840/2001 a 1647/2002						
Součinitel tepelné vodivosti při 25°C Techrock 40; 60; 80; 100; 120; 150	λ_k^*	0,038; 0,036; 0,035; 0,037; 0,039; 0,041	W.m ⁻¹ .K ⁻¹	ČSN 72 7540				
Závislost tepelné vodivosti λ_m na střední teplotě t_m	t_m^*	50 100 150 200 250 300 350	°C	DIN				
Techrock 40	0,040	0,045	0,053	0,064	0,078	—	—	EN ISO 8497 : 96°
Techrock 60	0,040	0,045	0,053	0,064	0,078	0,102	—	
Techrock 80	0,039	0,045	0,053	0,064	0,078	0,095	0,119	
Techrock 100	0,039	0,044	0,051	0,061	0,073	0,088	0,106	
Techrock 120	0,040	0,044	0,050	0,059	0,069	0,083	0,098	
Techrock 150	0,042	0,045	0,051	0,058	0,067	0,078	0,092	
Střední objemová hmotnost Techrock 40; 60; 80; 100; 120; 150	ρ_a	40; 60; 80; 100; 120; 150	kg.m ⁻³	ČSN EN 1602				
Maximální provozní teplota Techrock 40; 60; 80; 100; 120; 150	-	250*; 350*; 550*; 650*; 750*; 750*	°C	DIN 4102				
Měrná tepelná kapacita	c_p	840	J.kg ⁻¹ .K ⁻¹	ČSN 73 0540				
Bod tání	t_f	> 1 000	°C	DIN 4102				
Certifikát		070-022207	TZÚS Praha, Autorizovaná osoba č. 204					
Systém řízení jakosti	ISO 9001:2001- certifikát č. 00134		Bureau Veritas Quality International CS (BVQI), s. r. o. Praha					
Systém péče o životní prostředí	ISO 14001:1996 – certifikát č. 140868		Bureau Veritas Quality International CS (BVQI), s. r. o. Praha					

* Orientační hodnoty λ_m stanoveny výpočtem.

Informace obsažené v tomto technickém listě vypořádají o vlastnostech výrobků platných v době vydání. Vzhledem k neustálému vývoji materiálů může docházet ke změnám jejich vlastností.

ROCKWOOL®

specialista na technické izolace
tel.: 606 702 056, fax: 582 337 835

Více informací získáte na www.rockwool.cz

Rockwool, a. s.

U Háje 507/26, 147 00 Praha 4, tel.: 241 029 611, fax: 241 029 622,
e-mail: info@rockwool.cz, technické poradenství: ☎ 800 161 161

Příloha 3

Ceník a technický list : Tepelná izolace ISOVER

TECHNICKÝ LIST VÝROBKU ML3 (VENTILAM ALU)

Charakteristika výrobku

Izolační lamelová rohož vyrobená z kvalitní skelné plsti ISOVER s RAL - značkou jakosti podle bezpečnostních předpisů o chemikáliích a EU-směrnice 97/69. Kontrola jakosti podle VDI 2055 a HeizAnlV. Výroba je založena na metodě rozvlákování taveniny skla a dalších příprav. Vytvořená minerální vlnka se v rámci výrobní linky zpracuje do finálního tvaru desek, ze kterých jsou pak řezány lamely. Hydrofobizace dle AGI Q 136.

Použití

Lamelové rohože ML 3 jsou jednostranně nalepené na vysoko odolné, hliníkové fólie využívané mřížkou. Nabízí možnost širokého použití v domovních a průmyslových tepelných zařízeních, ve vzdutotechnicce, klimatizaci, větrání, i pro stavbu lodí. Rohož je nutně pro venkovní použití chránit vhodným způsobem, (např. oplechování). Zatížení izolačního materiálu: Izolace provozních zařízení podle AGI Q 132: 11.05.99.26.03.

Použití do teploty 260 °C. Nad teplotou 150°C dochází k vypařování pojiva. Tloušťka rohože musí být volena tak, aby teplota na straně s hliníkovou fólií nepřesáhla 100 °C.

Balení, transport, skladování

Rohože ML 3 jsou baleny do rolí v PE fólii a musí být doprováděny v krytých dopravních prostředcích za podmínek využívajících jejich navlhnutí nebo jiné znehodnocení. Skladují se v krytých prostorách naležato.

Rozměry, izolační vlastnosti

Označení	Tloušťka (mm)	Rozměry (mm)	Balení (m ²)
Isover ML3	20	600 x 10000	12,00
Isover ML3	30	600 x 8000	9,60
Isover ML3	40	600 x 6000	7,20
Isover ML3	50	600 x 5000	6,00
Isover ML3	60	600 x 4000	4,80
Isover ML3	70	600 x 3500	4,20
Isover ML3	80	600 x 3000	3,60
Isover ML3	90	600 x 2500	3,00
Isover ML3	100	600 x 2500	3,00

Technické parametry

Parametr	Jednotka	Hodnota						Norma
		10	50	100	150	200	250	
Charakteristický součinitel tepelné vodivosti λ_{ns} měřeno na potrubí Podle normy DIN 52 613	°C W/(m.K)	0,037	0,042	0,050	0,063	0,077	0,095	-
Charakteristický součinitel tepelné vodivosti λ_{np} měřeno v ploše Podle normy DIN 52 612	°C W/(m.K)	0,036	0,044	0,056	0,071	0,088	0,107	-
Výpočetová hodnota součinitele tepelné vodivosti λ_e pro tl. 20 mm	W/(m.K)	0,040						HeizAnlV
Objemová hmotnost	kg/m ³	30						EN 1602
Požárně technické vlastnosti	-	Třída hořlavosti 2						DIN 4102
		nehořlavý						IMO Resolution A.472(XII)
Stupeň hořlavosti	-	B - nesnadno hořlavé						ČSN 730 862
Charakteristická objemová tláha	kN/m ³	0,30						ČSN EN 1991-1-1 ČSN EN 1990
Maximální teplota použití / na straně polepu, teplota degradace poliva	°C	260 / 100, 150						AGI Q 132/ -, -
Propustnost pro vodní páru MU	Ekvivalentní difúzní tloušťka s_d	m	≥ 100 m					DIN 52 615
Chemické vlastnosti: - bez silikonu, sulfidů - bez láttek způsobujících korozii			AS kvalita					ASTM C 795-92
			Hydrofobizace materiálu					AGI Q 136

Související dokumenty

- Certifikát C-2003-0382/P CSI a.s., Praha
- Stavebně technické osvědčení STO 2003 - 0547P CSI a.s., Praha



Přednosti

- velmi dobré tepelné izolační schopnosti
- velmi dobrá pochlitivost zvuku
- požární ochrana
- ekologická a hygienická nezávadnost
- vodoodpudivost - izolační materiály ISOVER jsou hydrofobizované
- dlouhá životnost a po celou dobu neměnné fyzikální vlastnosti
- odolnost proti dřevokazným škůdcům, hlodavcům a hmyzu
- snadná opracovatelnost - výrobky lze řezat

Uvedené informace jsou platné v době vydání technického listu. Výrobce si vyhrazuje právo tyto údaje měnit.

15. 6. 2005

TECHNICKÝ LIST VÝROBKU ORSTECH 45

Charakteristika výrobku

Izolační desky vyrobené z minerální plsti Orsil. Výroba je založena na metodě rozvlákňování taveniny směsi hornin a dalších příměsí a přísad. Vytvořená minerální vlákna se v rámci výrobní linky zpracují do finálního tvaru desek. AS kvalita dle AGI Q 135 a dle ASTM C795-92 - izolace nerezových technologických zařízení. Hydrofobizace dle AGI Q 136.

Použití

Desky z minerálních vláken vhodné zejména pro izolaci potrubí vzduchotechniky. Desky je nutné v konstrukci chránit vhodným způsobem. Lze je dodat i s povrchovou úpravou, tzv. polepem. Pro venkovní použití je nutné použít vhodné opláštění plechem. Mohou být vyráběny s povrchovou úpravou polepem hliníkovou fólií (ozn. ORSTECH 45 H) nebo netkanou textilií (ozn. ORSTECH 45 NT). Při zářížení materiálu například spalínami, či jejich kondenzátem, případně pak mechanickým namáháním, jako jsou opakování vibrace, je potřebné odsouhlasit s výrobcem správné použití výrobku.

Maximální teplota použití 250 °C. U desky s polepem musí být tloušťka izolace volena tak, aby na straně polepu teplota nepřesáhla 100 °C. Při teplotách nad 150°C dochází k uvolňování poliva. Zatížení izolačního materiálu: Izolace provozních zařízení dle AGI Q 132: 12.07.20.26.05

Balení, transport, skladování

Výrobky ORSTECH 45 jsou baleny do PE fólie a musí být dopravovány v krytých dopravních prostředcích za podmínek vyučujících jejich navrhnutí nebo jiné znehodnocení. Skladují se v krytých prostorách naležato.

Rozměry, izolační vlastnosti

Označení	Tloušťka (mm)	Rozměry (mm)	Balení (m ²)
ORSTECH 45	40	1000 x 500	6,0
ORSTECH 45	50	1000 x 500	5,0
ORSTECH 45	60	1000 x 500	4,0
ORSTECH 45	80	1000 x 500	3,0
ORSTECH 45	100	1000 x 500	2,5
ORSTECH 45	120	1000 x 500	2,0

Doplňkové označení povrchové úpravy: NT - polep sklovláknitou netkanou textilií, H - polep armovanou hliníkovou fólií

Technické parametry

Parametr	Jednotka	Hodnota					Norma		
		°C	50	100	150	200	250	-	
Charakteristický součinitel tepelné vodivosti λ_0 Podle normy EN 12 667	W/(m.K)	0,050	0,058	0,068	0,082	0,102	-	-	
Objemová hmotnost	kg/m ³	45					EN 1602, DIN 52 275		
ORSTECH 45 a ORSTECH 45NT: Reakce na ohně	-	A1					ČSN EN 13501-1		
POZÁRÉM TECHNICKÉ VLASTNOSTI									
ORSTECH 45H: Reakce na ohně - doplňková klasifikace na tvorbu kouře, plamenně hořící částice	-	A2 - s1, d0					ČSN EN 13501-1		
Třída hořlavosti	-	A1					DIN 4102		
Odpor proti proudu Ξ pro tl. 50, 100 mm	kPa.s / m ²	17, 16					EN 290 53		
Body tání t_f	°C	≥ 1000					DIN 4102 dle 17		
Maximální teplota použití / na straně polepu	°C	250 / max. 100					-/ -		
Charakteristická objemová tíha	kN/m ³	0,45					ČSN EN 1991-1-1 ČSN EN 1990		
Vážený činitel zvukové pochlitnosti α_w pro tl. 40 / 80 / 100 mm	-	0,45 (MH) / 0,85 (H) / 0,90					ČSN ISO 10534-1, ČSN EN ISO 11654		
Součinitel zvukové pochlitnosti α pro kolmý dopad vln (λ) dle ČSN ISO 10534-1 a ČSN EN ISO 11654	Tloušťka	Frekvence	Hz	125	250	500	1000	2000	4000
		40	mm	0,09	0,18	0,47	0,83	0,99	0,90
		80	mm	0,27	0,49	0,89	0,92	0,95	0,97
		100	mm	0,33	0,76	0,90	0,92	0,93	0,98

Související dokumenty

- Certifikát 050 - 010081 TZÚS Praha, s.p.
- Stavebně technické osvědčení STO 05 - 4377 TZÚS Praha, s.p.



Přednosti

- velmi dobré tepelné izolační schopnosti
- velmi dobrá pochlitost zvuku
- nízký difúzní odpor - propustný pro vodní páru
- ekologická a hygienická nezávadnost
- vodoodpudivost - izolační materiály ORSIL jsou hydrofobizované
- dlouhá životnost a po celou dobu neměnné fyzičkální vlastnosti
- odolnost proti dřevokazným škůdcům, hlodavcům a hmyzu
- snadná opracovatelnost - výrobky lze řezat

Uvedené informace jsou platné v době vydání technického listu. Výrobce si vyhrazuje právo tyto údaje měnit.

15. 6. 2005

Příloha 4

Obrázky cisterny v software Proengineer

